

وزارة التعليم والبحث العلمي
MINISTÈRE DE L'ENSEIGNEMENT ET DE LA RECHERCHE SCIENTIFIQUE

ECOLE NATIONALE POLYTECHNIQUE
DEPARTEMENT Génie civil

المدرسة الوطنية المتعددة التقنيات
BIBLIOTHEQUE — المكتبة —
Ecole Nationale Polytechnique

PROJET DE FIN D'ETUDES

S U J E T

ETUDE ET CONCEPTION D'UN RESERVOIR D'EAU

5000m³

2 PLANCHES

Proposé par :

DHWA

Etudié par :

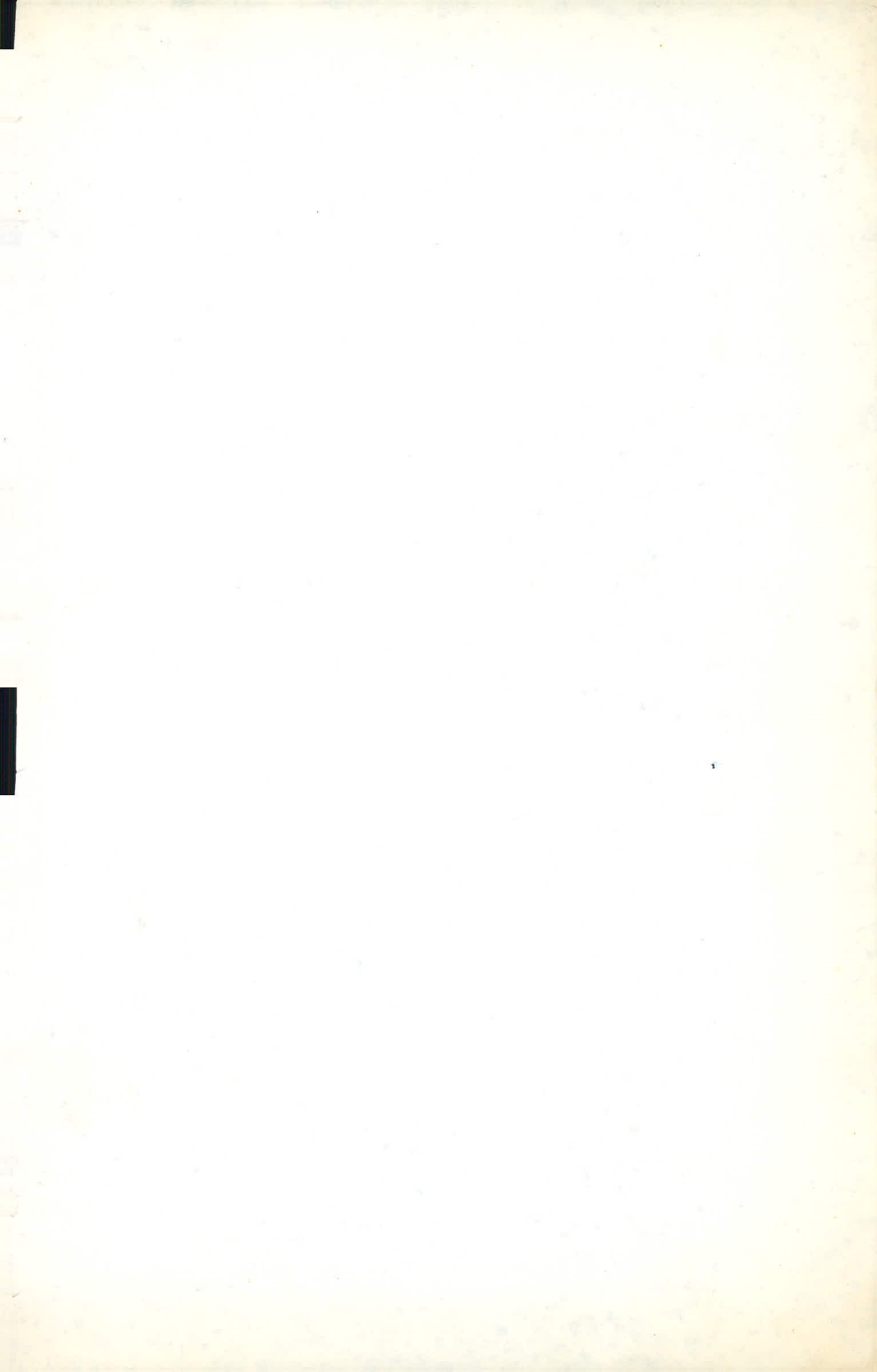
M² CHEITIAH S

Dirige par :

" MADI - A

M² HAMOUDIENE

PROMOTION :



REMERCIEMENTS

Nous tenons vivement à exprimer notre sincère reconnaissance et toute notre gratitude à tous ceux qui ont contribué de près ou de loin à notre formation.

Nos vifs remerciements aux membres du jury, qui nous fait l'honneur de juger notre travail. Que notre promoteur M^E HAMOUCITENE trouve ici nos vifs remerciements pour ses conseils à chaque de nos entrevues et son aide si efficace. Nous sommes très reconnaissants envers :

M^E AMEUR

M^E BELAZOUGUI

M^E SENDJANI

M^E CHAKER

M^E BARAKA

M^E TZINOV.

M^E KIRATI.

DEDICACES

je dédie ce modeste travail à :

- mes parents, en signe de reconnaissance pour tous les sacrifices consentis à mon égard.
- mes frères : BOUZID, AISSA, AEK, N.épine et mes soeurs.
- mes amis : Rabie, A. Abdellahmane, S. Abderahmane, Brahim MED, Messaoud MED, Tafar et Ali.
- mes professeurs.
- et tous ceux qui aimeraient que ce travail leur soit dédié.

A. MADI.

je dédie ce modeste travail à :

- mes parents en signe de reconnaissance pour tous les sacrifices consentis à mon égard.
- mes frères et soeurs, ainsi que toute ma famille.
- La mémoire des chouhadas parmi eux mon père et son frère Abdelkader.
- tous ceux qui cette terre leur est chère.
- mes professeurs
- mes chers amis (es) à qui je dois mes plus doux souvenirs.

S. CHETTAH:

SOMMAIRE

- Généralités.....	1.
- Caractéristiques des matériaux	10
- Etude de la coupole	21
- Etude de la paroi	32
- Etude hydraulique	51 51
- Foundations	66

INTRODUCTION

ET

GENERALITES

Généralités.

I.1: Introduction:

Suite à la lettre de commande émanant de la direction de l'hydraulique de la wilaya d'Iferouane datée du 8 mai 1984, le laboratoire national des travaux publics (L.N.T.P) a entrepris l'étude du sol pour un réservoir d'eau potable de 5000m³ au Sahel. Le site du Sahel, est situé dans une dépression comprise entre la rue de la Fontaine-fraîche et la rue Taïk-Ibuou Ziad. D'après le rapport du sol donné par le L.N.T.P, nous pouvons dans cet ouvrage la conception et l'étude de ce réservoir.

I.1.1: Déf:

Un réservoir, est une enveloppe, contenant un liquide. Ce liquide, est généralement de l'eau, soit potable (réservoir de distribution publiques), soit usé (eau d'égout).

I.1.2: Utilité du réservoir d'eau:

Le réservoir est absolument indispensable pour pouvoir restituer l'eau au moment des heures de pointes, dans le cas des adductions gravitaires qui transitent quotidiennement un débit sensiblement constant. Il est aussi indispensable pour régulariser les variations de la consommation selon les besoins et les périodes. Il doit contenir, en tout temps une réserve suffisante et ce pour faire face à une interruption imprévue des installations de refoulement.

De plus il permet de combattre efficacement les incendies.

I.1.3: Classification des réservoirs:

Les réservoirs peuvent être classés en fonction des critères différents.

a/ D'après la nature des matériaux de construction on distingue : - Réservoirs métalliques.

- Réservoirs en maçonnerie
- Réservoirs en béton armé, ordinaire ou précontraint.

b/ D'après les situations des lieux, ils peuvent être :

- Enterrés
- Semi-enterrés
- Surélévés, sur tour, ...

c/ D'après la forme de la cuve :

- Cylindrique
- Carrée
- Rectangulaire, ...

d/ D'après le volume de contenance :

- Grand-réservoir
- Moyen-réservoir
- Petit-réservoir.

e/ D'après le liquide contenu :

Eau (potable, usé), Viens, hydrocarbures (essence, ...).

I.1.4: Caractéristiques d'un réservoir:

a/ Résistance:

L'ouvrage doit équilibrer les efforts auxquels il est soumis, poids propre, poids de l'eau, surcharges d'exploitation, efforts dus aux vents et au sismique, retrait, flottage, ...

b/ Durabilité:

Le matériau qui constitue le réservoir doit réservrer toutes ses propriétés initiales et ce pour après le contact permanent avec l'eau.

c/ Etanchéité:

Le réservoir doit présenter une étanchéité absolue et parfaite, à fin de préserver la cuve contre toute fissure.

I.2: Conception:

a/ Choix de la forme en plan du réservoir:

La forme en plan d'un réservoir peut être quelconque. Cependant la plus part des temps, les petits réservoirs sont carres ou rectangulaires, bien que la forme circulaire soit la moins coûteuse pour les deux raisons suivantes:

- A volume et hauteur données, donc à surface en plan "S" donnée, le développement de paroi le plus faible conduira au réservoir le moins coûteux.

or le périmètre d'un cané de surface S , est:

$$P = 4 \cdot \sqrt{S}$$

celui d'un cercle est:

$$P' = \sqrt{4\pi \cdot S'} = 3.57 \cdot \sqrt{S'}$$

celui d'un rectangle de côtés a et $b = k \cdot a$ avec:

$k > 1.00$ est:

$$P'' = \frac{2 \cdot (k+1) \cdot \sqrt{k}}{k} \cdot \sqrt{S'} = \alpha \cdot \sqrt{S'}$$

- soit pour:

$$k = 1 \quad 2 \quad 3 \quad 4$$

$$\alpha = 4 \quad 4,23 \quad 4,61 \quad 5,00.$$

- Les réservoirs sont soumis à la pression hydrostatique du liquide contenu, et on sait que la figure d'équilibre des pressions radiales uniformes est un cercle.

Un réservoir circulaire ne sera donc soumis qu'à un effort normal de traction.

- si p est la pression uniforme, l'effort normal sera:

$$F = p \cdot \frac{d}{2}$$

Mais: $d = \sqrt{\frac{4S'}{\pi}} = 1,13 \cdot \sqrt{S'}$

d'où: $F = 0.565 \cdot p \cdot \sqrt{S'}$.

- Dans un réservoir, cané de côté $a = \sqrt{S'}$ l'effort normal est:

$$F = \frac{P \cdot a}{2} = \frac{P \cdot \sqrt{s}}{2} = 0.500 \cdot P \cdot \sqrt{s}.$$

Il est légèrement plus petit que dans le cas du réservoir circulaire, mais par contre, la paroi sera soumise à un important moment de flexion:

$$M = \frac{P \cdot a^2}{12} = \frac{P \cdot s}{12}$$

qui nécessitera beaucoup plus de béton et d'acier.

- L'avantage des cuves cylindriques, on doit noter qu'à égalité de contenance, la surface est plus petite, donc les dépenses de revêtement des parois seront plus faibles.

- Tandis que la forme rectangulaire n'est, en effet, l'inconvénient d'introduire de grandes déformations de flexion, donc les risques de fuites et de désordres. On pourra cetera diminuer cette flexibilité à l'aide de nervures, mais celles-ci gènent le nettoyage des cuves si elles sont en radier, ou l'évacuation de l'air au remplissage si elles sont en plafond.

* Finalement, on voit bien que le réservoir carié (ou rectangulaire) est beaucoup plus lourds tant en béton qu'en acier, en coffrage, en étanchéité et en simplicité de construction.

b/ Choix du type de réservoir:

Seulement entendu, une question d'espèce pour chaque cas. Cependant, à chaque fois que cela sera possible, il sera préférable d'avoir recours au réservoirs enterrés, semi-enterrés ou, au plus, élévation au-dessus du sol avec radier légèrement enterré.

Ces types de réservoirs, les deux premiers principalement, présentent par rapport au réservoir sur terre, les avantages suivants:

1. Economie sur les frais de construction
2. Etude architecturale très simplifiée et moins sujette à critiques.
3. Étanchéité plus facile à réaliser.
4. Conservation à une température constante de l'eau ainsi emmagasinée.

Ces types de réservoirs s'imposent, d'ailleurs dès que la capacité deviendra importante.

Conclusion:

Suite à cette analyse, nous adopterons la forme cylindrique circulaire, type semi-enterré et ce pour des raisons citées ci-dessus.

I.3. Présentation de l'ouvrage:

I.3.1: Caractéristiques du réservoir:

L'ouvrage qui nous a été proposé d'étudier est caractérisé par :

- Sa forme géométrique : cylindrique circulaire.
- Sa capacité : 5000 m^3 .
- Sa hauteur utile d'eau : $h = 6,70 \text{ m}$.
- Son diamètre intérieur : $D = 31,00 \text{ m}$.
- Site : ALGER
- Taux de travail : $\bar{\rho}_s = 1 \text{ bar}$.
- Matériaux utilisés : Béton, armé.

I.3.2: Description du réservoir:

Notre réservoir est composé d'une cuve cylindrique de capacité de 5000 m^3 , de diamètre intérieur $r = 31 \text{ m}$ et de hauteur d'eau : $h = 6,700 \text{ m}$.

La couverture est assurée par une coupole d'épaisseur " $e = 8 \text{ cm}$ " et de flèche de $3,5 \text{ m}$ ($\approx \frac{1}{9} D$), possédant des cheminées et une ouverture d'éventuelles réparations. La fondation est assurée par un radier de 70 cm d'épaisseur.

I.3.3: Principe de construction:

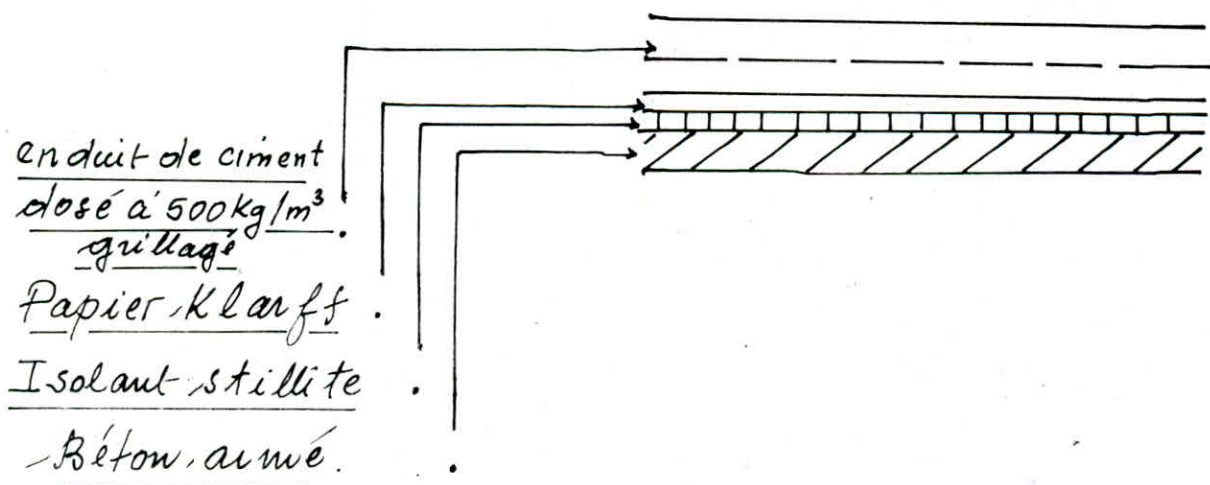
- Le réservoir doit être construit en matériaux durables. Il doit être couvert, à l'abri des contaminations, des eaux souterraines et d'infiltration,

des pluies et des poussières. Il doit être vêtu tout en restant à l'abri du froid et de la chaleur et, de plus, visitable. Il sera bon de prévoir un compartimentage pour faciliter les nettoyages.

Enfin pour éviter les risques de reprise du bétonnage, nous utilisons le coffrage métallique glissant. Les règles imposées par l'hygiène, nous imposent des revêtements intérieurs et extérieurs.

a). Pour la coupole:

Comme le réservoir sera implanté à Alger, on bénéficiera de son climat tempéré, doux, qui ne comporte pas de grands écarts thermiques. Nous nous contenterons donc d'un revêtement d'étanchéité pour la coupole de construction comme le montre le détail suivant:



61. Pour les parois:

L'expérience que dans le cas des grands réservoirs, l'insulation thermique de la masse d'eau d'une part et de la masse du béton d'autre part, sont telles que les variations de températures de l'eau sont relativement faibles de l'été à l'hiver, et que notre réservoir, est semi-enterré donc conserve une température constante de l'eau ainsi emmagasinée et que par suite toute isolation thermique est dans ce cas superflue.

Donc il n'est pas nécessaire de prévoir un système d'isolation thermique.

- par contre pour l'étanchéité on prévoit des conduits pour améliorer l'imperméabilité des parois et de les protéger. Ces conduits seront en mortier de ciment et en deux couches en principe dosé à 500 kg/m^3 de sable sec sur couche d'accrochage (dosé à 400 kg/m^3).

- La première couche forme le dégrossi

- La seconde couche forme l'enduit proprement dit.

Remarque:

Il est conseillé d'éviter des ciments de fabrication récente (ciment, chaux) dont le retrait serait préjudiciable à l'étanchéité.

CARACTERISTIQUES
DES
MATERIAUX

II.- Matériaux utilisés :

1. Béton :

Nous utilisons un béton très étanche. pour cela le dosage porté à 400 kg/m^3 de C.P.A. 325 avec un contrôle atténué.

1.1: contrainte de compression admissible notée : $\bar{\sigma}_b'$

on a : $\bar{\sigma}_b' = f_b' \cdot \bar{\sigma}_n'$ avec :

- $\bar{\sigma}_n'$ = contrainte d'écalement du béton (résistance nominale) après 28 jours.

- $f_b' = \text{cof}$ = fraction de résistance nominale
 $f_b' = \alpha \cdot \beta \cdot \gamma \cdot \delta \cdot E$.

- α : dépend de la classe du ciment utilisé. CPA 325 $\Rightarrow \alpha = 1$

- β : coefficient tenant compte de l'efficacité du contrôle exercé sur la qualité du béton mis en oeuvre :

- $\beta = 5/6$: contrôle atténué

- $\beta = 1$: contrôle stricte.

- γ : dépend des épaisseurs relatives h_m , des éléments de construction et des dimensions des granulats, c_g

- $\gamma = 1$ si $h_m > 4 c_g$

- $\gamma = \frac{h_m}{4 c_g}$ si $h_m \leq 4 c_g \Rightarrow \gamma = 1$.

- δ : dépend de la nature des sollicitations :

- compression simple : $\delta = 0,3$

- flexions simple et composée : $\delta = 0,6$, quand N est une traction,

$\delta = 0,3 \left(1 + \frac{e_0}{3 e_1}\right)$ quand N est une compression. N = effort normal.

e0: excentricité de la force extérieure par rapport au c.d.g de la section complète du béton seul.

e1: rayon vecteur de même signe que e0 du noyau central.
pour une section annulaire de faible épaisseur, de diamètre moyen D, on aura alors: $e_1 = \frac{D}{4}$.

d'où pour: $0 \leq e_0 \leq 0.75D$ Nous aurons $\delta = 0.3 \left(1 + \frac{1.33 \cdot e_0}{D} \right)$.
pour: $e_0 > 0.75D$ Nous aurons $\delta = 0.60$

- E: Dépend de la nature de la sollicitation et de la forme de la section. Elle est toujours comprise: $0.5 < E \leq 1$.

on prendra: $E = 1$ - compression simple et dans tous les autres cas.

En conclusion nous obtenons:

a) sous - SP1 : 1^{er} genre de sollicitation:

$$\begin{aligned} \text{- compression simple: } \bar{\sigma}_{b_0}' &= 1 \cdot \frac{5}{6} \cdot 1 \cdot 0.3 \cdot 300 = 75 \text{ bars} \\ \text{- flexion simple: } \bar{\sigma}_b' &= 1 \cdot \frac{5}{6} \cdot 1 \cdot 0.6 \cdot 300 = 150 \text{ bars.} \end{aligned}$$

b) sous SP2 - 2^{eme} genre de sollicitation

$$\begin{aligned} \text{- compression simple: } \bar{\sigma}_{b_0}' &= 1,5 \cdot \bar{\sigma}_{b_0}' (\text{SP1}) = 112,5 \text{ b} \\ \text{- flexion simple: } \bar{\sigma}_b' &= 1,5 \cdot \bar{\sigma}_b' (\text{SP1}) = 225 \text{ b.} \end{aligned}$$

1.2: Contrainte de traction référence: notée $\bar{\sigma}_b$

$$\text{on a: } \bar{\sigma}_b = f_b \cdot \bar{\sigma}_{28}' \text{ avec: } f_b = \alpha \cdot \beta \cdot \gamma \cdot \theta \text{ on}$$

- α, β et γ sont les mêmes coefficients que pour $\bar{\sigma}_b'$

$$\theta = 0,018 + \frac{2,1}{\bar{\sigma}_b'} \text{ avec } \bar{\sigma}_b' = 300 \text{ bars} = \bar{\sigma}_{28}'.$$

$$\Rightarrow \theta = 0,018 + \frac{2,1}{300} = 0,025$$

$$\text{finalement on aura: } \bar{\sigma}_b = f_b \cdot \bar{\sigma}_{28}' = 1 \cdot \frac{5}{6} \cdot 1 \cdot 0,025 \cdot 300 = 6,25 \text{ b}$$

Remarque: 1). Le fait de définir une contrainte de traction de référence n'autorise pas, l'obligation de limiter à cette valeur la contrainte de traction de béton calculée en prenant en considération les sections tendues ($B + NA$).

2). Etant faible est difficile à représenter, le nouveau texte du tableau des charges applicables à la construction des réservoirs et cuves en béton armé établit en 1966 prévoit une contrainte admissible de traction de béton $\bar{\sigma}_b$ égale au produit du coefficient θ par la contrainte limite de rupture en traction à 28 jours: σ_{28}

$$\bar{\sigma}_b = \theta \cdot \sigma_{28} \quad , \quad \sigma_{28} \leq 22 \text{ bars} \quad , \quad \theta \geq 1$$

$\theta = 1 \Rightarrow$ traction simple, $\theta = 1 + \frac{2\ell_0}{3h} \Rightarrow$ flexion composée

$\theta = 5/3 \Rightarrow$ flexion simple.

Compte tenu du dosage choisis et selon ce règlement nous limitons $\bar{\sigma}_b$ à 22 bars: $\bar{\sigma}_b = 22 \text{ bars}$.

1.3: Contrainte de cisaillement admissible noté: $\bar{\tau}_b$

La contrainte tangentielle $\bar{\tau}_b$ est bornée au droit de chaque section droite en fonction de la contrainte maximale de compression des bétons $\bar{\sigma}'_b$, coexistante sur cette même section droite par les inégalités suivantes: $\bar{\tau}_b \leq 3.5 \cdot \bar{\sigma}_b$ si $\bar{\sigma}'_b \leq \bar{\sigma}_{b0}'$

$$\bar{\tau}_b \leq \left(4.5 - \frac{\bar{\sigma}'_b}{\bar{\sigma}_{b0}'} \right) \cdot \bar{\sigma}_b \quad \text{si } \bar{\sigma}_{b0}' < \bar{\sigma}_b \leq 2 \cdot \bar{\sigma}_{b0}'$$

2. ACIERS: Nous utilisons deux types d'aciels

1. aciers doux Fe 24 avec $\sigma_{en} = 2400 \text{ Kg/cm}^2$.

2. aciers haute cohérence (tors) Fe E 40 avec: $\sigma_{en} = 4200 \frac{\text{kg}}{\text{cm}^2}$ pour $\varnothing \leq 20$

$$\sigma_{en} = 4000 \frac{\text{kg}}{\text{cm}^2} \text{ pour } \varnothing > 20$$

2.1: Contrainte admissible de traction noté: $\bar{\sigma}_a$.

En respectant les conditions de non fissurations exposées dans le C.C.B.A 68 Art 49.22, la valeur maximale de la contrainte de traction admissible doit vérifier l'inégalité suivante : $\bar{\sigma}_a \leq \begin{cases} \sigma_{a_1} = \frac{2}{3} \cdot \sigma_{en} \\ \max(\sigma_1, \sigma_2) \text{ tq :} \end{cases}$

- σ_1 : contrainte de fissuration systématique.
 - σ_2 : contrainte de fissuration accidentelle.
 - Éléments autres que les parois du réservoir (pas en contact avec l'eau)
- $$\sigma_1 = \frac{K \cdot n}{\phi} \cdot \frac{\tilde{w}_f}{1 + 10\tilde{w}_f}$$
- $$\sigma_2 = 2.4 \sqrt{\frac{n \cdot K \cdot \bar{\sigma}_b}{}}$$
- ϕ : diamètre nominal de la plus grosse barre tendue.
 - n : coefficient de fissuration
 - $n=1 \Rightarrow$ pour les ronds lisses
 - $n=1.6 \Rightarrow$ pour les H. adhérences.
 - K : coefficient dépendant des conséquences de fissuration.
 $K = 0.5 \cdot 10^6$ (fissuration très préjudiciables).
 - \tilde{w}_f : % de fissuration défini par le rapport : A/B_f avec
 - A : section totale des armatures tendues,
 - B_f : section du béton tendu ayant même centre de gravité que les armatures tendues.
 - Valeur de $\bar{\sigma}_{a_1}$:
 - Pour les aciers doux : $\bar{\sigma}_{a_1} = \frac{2}{3} \cdot 2400 = 1600 \text{ Kg/cm}^2$.
= (1570 bars)
 - Pour les aciers H.A : $\bar{\sigma}_{a_1} = \frac{2}{3} \cdot 4200 = 2800 \text{ Kg/cm}^2$.
= (2750 bars).
- où : $\bar{\sigma}_{a_1} = \begin{cases} - 2670 \text{ Kg/cm}^2 (2610 \text{ bars}) ; \phi > 20 \\ - 2800 \text{ Kg/cm}^2 (2750 \text{ bars}) ; \phi \leq 20. \end{cases}$

* Dans le tableau suivant on donne les valeurs de $\bar{\sigma}_{a_1}$ à comparaison : $(\bar{\sigma}_1, \bar{\sigma}_2)$

$\bar{\sigma}_a$	5	6	8	10	12	14	16	20	25	32
A.dx	1600	1600	1530	1368	1249	1156	1081	967	865	765
A.H.A	2448	2234	1935	1731	1580	1463	1368	1224	1094	967

Remarque: $\bar{\sigma}_a > \bar{\sigma}_1$ en général donc on ne considère que les valeurs de $\bar{\sigma}_a$.

- Pour les parois du réservoir, partie intérieure (il est en contact avec l'eau). Les contraintes $\bar{\sigma}_1$ et $\bar{\sigma}_2$ seront majorées de 300N dans le cas où l'élément est constamment en contact avec l'eau, car le gonflement du béton réduit la largeur des fissures et ce pour l'absence du retrait on aura donc :

$$\bar{\sigma}_1 = \frac{K \cdot n}{\phi} \cdot \frac{\bar{w}_f}{1 + 10\bar{w}_f} + 300N.$$

$$\bar{\sigma}_2 = 2,4 \sqrt{\frac{K \cdot n \cdot \bar{\sigma}_b}{\phi}} + 300N.$$

d'où les valeurs de $\bar{\sigma}_a$:

$\bar{\sigma}_a$	5	6	8	10	12	14	16	20	25	32
A.dx	1600	1600	1600	1600	1549	1456	1381	1267	1165	1065
A.H.A	2800	2714	2415	2215	2060	1943	1848	1704	1574	1447

2.2 Contrainte admissible de compression notée : $\bar{\sigma}_b'$

Dans le cas des pièces soumises à la compression simple pour lesquelles l'air utilisé serait tel que : $\bar{\sigma}_{en} < 3300 \text{ kg/cm}^2$, la valeur de la contrainte admissible de compression ($\bar{\sigma}_a'$) sera réduite à $2/3 \cdot \bar{\sigma}_{en} / 3340$:

$$\text{A.H.A} : \bar{\sigma}_a' = \frac{2}{3} \cdot \frac{\bar{\sigma}_{en}}{3340} = \begin{cases} \bar{\sigma} 2800 \text{ kg/cm}^2 (2750 \text{ bars}) \text{ pour } \phi \leq 2 \\ \bar{\sigma} 2670 \text{ kg/cm}^2 (2610 \text{ bars}) \text{ pour } \phi > 2 \end{cases}$$

$$\text{A.dx} : \bar{\sigma}_a' = 1150 \text{ kg/cm}^2.$$

2.3 : Contrainte admissible d'adhérence notée : $\bar{\tau}_d$

La contrainte admissible d'adhérence sera donnée suivant deux zones :

- Zone d'ancrege normale : $\bar{\tau}_d = 1,25 \bar{\tau}_d^2 \cdot \bar{\sigma}_b$.
- Zone d'ancrege plein masse : $\bar{\tau}_d = 2 \bar{\tau}_d^2 \cdot \bar{\sigma}_b$.

Avec: $\varphi_d = \begin{cases} 1 & \text{pour les aciers ronds, lisses.} \\ \frac{1,6}{\sqrt{2}} \cdot \eta_r & \text{pour les aciers: H. A.} \end{cases}$

φ_d = coefficient de scellement droit.

η_r = Valeur du coefficient de scellement égale à $\sqrt{2}$.
Les valeurs de $\bar{\varepsilon}_d$ seront dans le tableau ci-dessous:

Z.A. Aciers	Z.A. NORMALE	Z.A. P. MASSE
A dx	7,81	12,50
A.H.A	28,12	12,50

2.4: Recouvrement des armatures droites et longueur de scellement:

La fonction de deux bâmes parallèles, identiques, est assurée par recouvrement lorsque leurs extrémités se chevauchent sur une longueur l_r :

$$\text{on a: } l_r = \begin{cases} -ld & \text{si } d \leq 5\phi \\ -ld + d & \text{si } d > 5\phi \end{cases} \text{ on}$$

d = distance entre-axe des bâmes.

La longueur de scellement droit "ld" d'une bâme est la longueur minimale de zone rectiligne sur laquelle son ancrage peut être total lorsqu'elle est isolée.

$$ld = \begin{cases} - \frac{\phi}{4} \cdot \frac{\bar{\sigma}_a}{\bar{\varepsilon}_d} & \text{en traction} \\ - \frac{\phi}{4} \cdot \frac{\bar{\sigma}'_a}{\bar{\varepsilon}_d} & \text{en compression} \end{cases}$$

on: ϕ : le diamètre nominale de la bâme.

- théorie de la membrane:

Introduction:

Dans le calcul des constructions de génie civil de toute nature, on cherche à simplifier les solides à trois dimensions avec lesquels on a toujours affaire, au moyen d'une idéalisation qui rende possible d'avoir un aperçu de l'essentiel de l'état de leur contraintes. Les portes et les piliers, et essentiellement tout ce que l'on peut constituer à partir de profilés, peuvent, de point de vue de leur fonctionnement statique, être décrit au moyen de la fiction d'une ligne, donc les déformations élastiques (allongement, variation de courbure, torsion) et la grandeur de certaines forces sont proportionnelles aux forces élastiques appliquées dans les sections (forces longitudinales, moment fléchissant, moment de torsion).

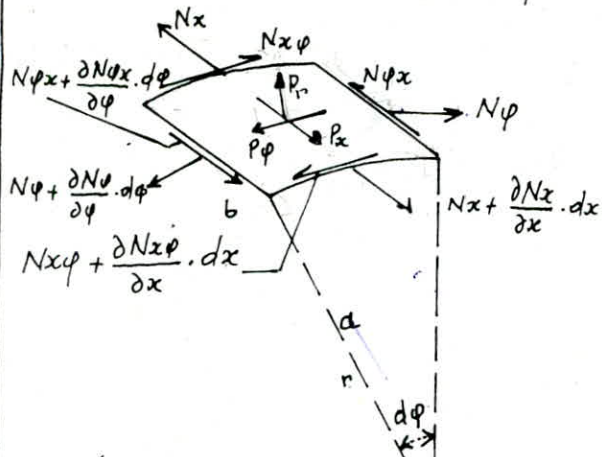
La paroi d'un réservoir, la membrane d'un ballonète aéroride, l'enveloppe d'un ballon, sont des éléments de construction qui ne se laissent représenter par des lignes. Le désir d'y suivre le jeu des forces conduit à la représentation par des solides continus à deux dimensions, par des surfaces matérialisées qui peuvent supporter des forces et subir des déformations, ce qui se traduit par une certaine loi d'élasticité. On les appelle des surfaces porteuses et dont les surfaces courbes sont appelées coque.

A partir de la théorie de la membrane pour les roches, cylindriques dans son ouvrage intitulé : Théorie des plaques et coques.

Flügge est arrivé à étudier l'équilibre d'une coque soumise à des pressions extérieures, et ce à partir des déplacements des.../...

... des éléments de coque.

Soit l'élément de coque représenté par la figure ci-dessous:



coordonnées et forces
élastiques de la coque
cylindrique.

- L'équilibre dans la direction des x exige que:

$$① \dots \frac{\partial N_x}{\partial x} \cdot dx \cdot r \cdot d\varphi + \frac{\partial N_{\varphi x}}{\partial \varphi} \cdot d\varphi \cdot dx + p_x \cdot dx \cdot r \cdot d\varphi = 0.$$

- Les forces dirigées suivant la tangente à la section normale fournissent l'équation:

$$② \dots \frac{\partial N_{\varphi}}{\partial \varphi} \cdot d\varphi \cdot dx + \frac{\partial N_{x\varphi}}{\partial x} \cdot dx \cdot r \cdot d\varphi + p_{\varphi} \cdot dx \cdot r \cdot d\varphi = 0.$$

- Dans la direction normale de la coque, n'agit, en dehors de la composante: $p_r \cdot dx \cdot d\varphi$ de la charge, que la résultante $N_{\varphi} \cdot dx \cdot d\varphi$ des deux forces longitudinales $N_x \cdot dx$. La troisième équation d'équilibre s'écrit:

$$③ \dots N_{\varphi} \cdot dx \cdot d\varphi - p_r \cdot dx \cdot r \cdot d\varphi = 0$$

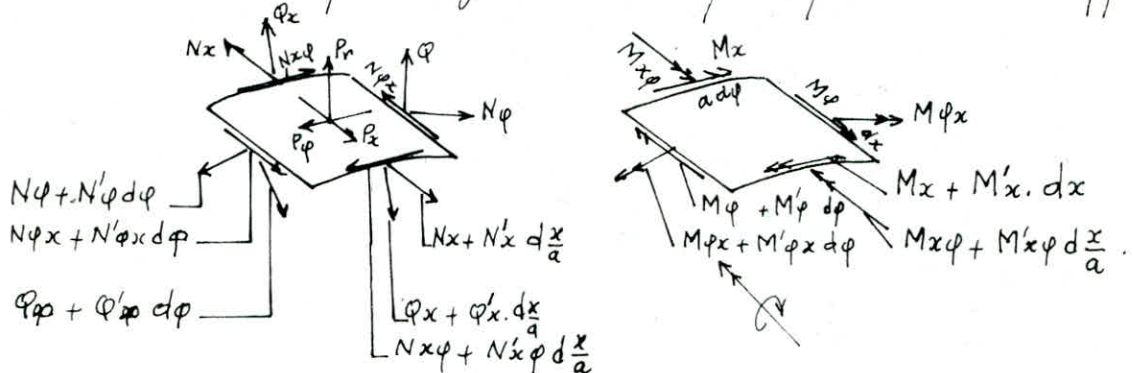
- Si l'on divise par $dx \cdot d\varphi$ les trois équations, on obtient finalement, les trois équations d'équilibre des forces de membrane d'une coque cylindrique:

1	$N_{\varphi} - p_r \cdot r = 0$
2	$\frac{\partial N_{\varphi}}{\partial \varphi} + \frac{\partial N_{x\varphi}}{\partial x} \cdot r + p_{\varphi} \cdot r = 0$
3	$\frac{\partial N_x}{\partial x} \cdot r + \frac{\partial N_{\varphi x}}{\partial \varphi} \cdot r + p_x \cdot r = 0$

Théorie des flexions:

Pour calculer un réservoir cylindrique où liquide, on peut partir de la théorie générale pour la coque à cylindre de révolution.

- Soit l'élément de sur face de coque, défini par le choix de ses coordonnées, ainsi que les forces élastiques qui lui sont appliquées.



- Les six équations d'équilibre de ce système dans l'espace forment le point de départ pour le calcul des contraintes.

1°/ L'équilibre des forces agissant sur l'élément se traduit par :

$$1 \quad \dots \quad N'_x + N'qx + a \cdot px = 0$$

$$2 \quad \dots \quad N'q + N'x\varphi - Q\varphi + a \cdot p\varphi = 0$$

$$3 \quad \dots \quad Q'\varphi + Q'x - N\varphi - a \cdot pr = 0$$

2°/ L'équilibre des moments par rapport aux deux tangentes, et à la normale s'écrit :

$$4 \quad \dots \quad M'\varphi + M'x\varphi - a \cdot Q\varphi = 0$$

$$5 \quad \dots \quad M'x + M'\varphi x - a \cdot Qx = 0$$

$$6 \quad \dots \quad a \cdot Nx\varphi - a \cdot N\varphi x + M\varphi x = 0$$

Avec : a : rayon de la surface médiane.

x, φ : les coordonnées qui définissent la position d'un point dans un élément de surface de la coque.

$N'_x, N'qx, N'x\varphi, M'_x, M'\varphi x, M'x\varphi$ et $M\varphi x$: sont des dérivées... .

... par rapport à φ et par rapport à $\frac{x}{a}$.

Dans un réservoir, la force transversale annule $Q\varphi$, les efforts tranchants et les moments torsion sont nuls. D'ailleurs nous pouvons, puisque la pression du liquide est la seule charge nous intéressant, poser aussi $P_x = P_y = 0$, et donc les dérivées par rapport à φ sont nulles d'où :

$$\textcircled{1} \Rightarrow N'x + N'\varphi x + \alpha p_x = 0 \Rightarrow N'x = 0$$

$N'x$: force longitudinale (indépendante des autres forces élastiques).

Pour nos calculs nous poserons $Nx = 0$ il vient donc :

$$\textcircled{2} \Rightarrow Q'\varphi + N'x\varphi - Q\varphi + \alpha p\varphi = 0 \Rightarrow Q\varphi = 0$$

$$\textcircled{3} \Rightarrow Q'\varphi + Q'x + N\varphi - \alpha p_r = 0 \Rightarrow Q'x + N\varphi = \alpha \cdot p_r$$

$$\textcircled{4} \Rightarrow M'x + M'\varphi x - \alpha \cdot Qx = 0 \Rightarrow M'x\varphi = 0$$

$$\textcircled{5} \Rightarrow M'\varphi + M'x\varphi - \alpha \cdot Q\varphi = 0 \Rightarrow M'x + \alpha \cdot Qx = 0$$

$$\textcircled{6} \Rightarrow \alpha \cdot Nx\varphi - \alpha \cdot N\varphi x + M\varphi = 0 \Rightarrow M\varphi = 0$$

d'où les deux équations suivantes :

$$\textcircled{I} \dots \quad Q'x + N\varphi = \alpha \cdot p_r$$

$$\textcircled{II} \dots \quad M'x - \alpha \cdot Qx = 0 \Rightarrow Qx = \frac{M'x}{\alpha}$$

En introduisant $Q'x$ dans \textcircled{I} on aboutit à : $\Rightarrow Q' = \frac{M''x}{a}$.

$$Q'x + N\varphi = \alpha \cdot p_r \Leftrightarrow \frac{M''x}{a} + N\varphi = \alpha \cdot p_r$$

$$\text{d'où: } \textcircled{III} \dots M''x + a \cdot N\varphi = a^2 \cdot p_r.$$

- à partir de la théorie de la membrane pour les coques cylindriques, Flügge est arrivé à donner les relations entre le déplacement et les éléments de réduction qui sont :

$$\cdot D = \frac{E \cdot t}{1 - \nu^2} : \text{Résistance à la dilatation}$$

$$\cdot K = \frac{E \cdot t^3}{12(1 - \nu^2)} : \text{Résistance à la flexion.}$$

$$\cdot N\varphi = \frac{D(1 - \nu^2)}{a} \cdot w , \quad Mx = \frac{K}{a} \cdot w''.$$

où: t : épaisseur de la paroi

a : rayon interne du réservoir

ν : coefficient de poisson

$N\varphi$: poussée radiale sur l'élément de paroi.

Mx : Moment fléchissant sur l'élément de paroi.

$$\cdot \text{Comme on a: } Mx = \frac{K}{a} \cdot w'' \Rightarrow M''x = \frac{K}{a^2} \cdot w^{IV}$$

et enfin en remplaçant $M''x$ et $N\varphi$ par leurs valeurs dans l'équation (III) il vient:

$$\cdot M''x + a \cdot N\varphi = a^2 \cdot pr \Rightarrow$$

$$\frac{K}{a^2} \cdot w^{IV} + a \cdot \frac{D(1 - \nu^2)}{a} \cdot w = a^2 \cdot pr \Rightarrow$$

$$K \cdot w^{IV} + a^2 \cdot D(1 - \nu^2) \cdot w = a^4 \cdot pr$$

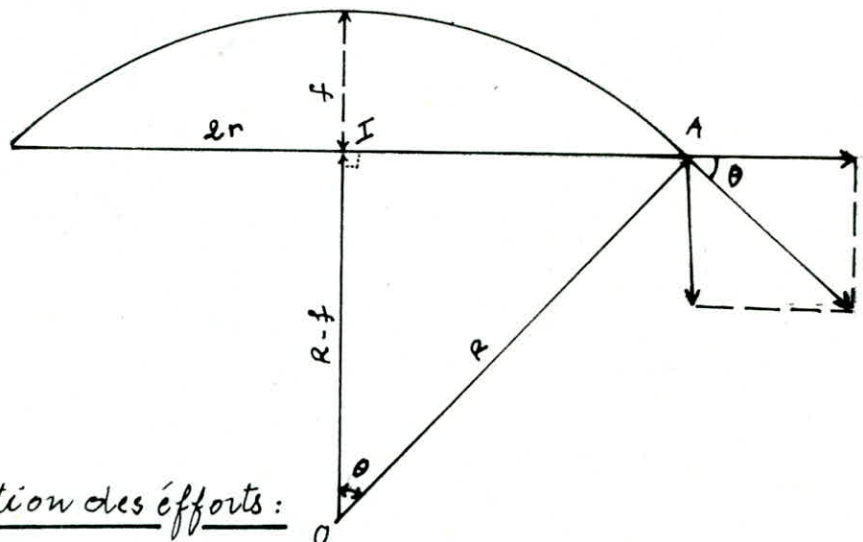
Enfin:

$$K \cdot w^{IV} + a^2 \cdot D(1 - \nu^2) \cdot w = a^4 \cdot pr$$

Cette équation est dite équation générale des
RESERVOIRS

ETUDE
DE LA COUPOLE

Etude de la coupole.



Détermination des efforts:

P' = Composante verticale de l'effort de compression aux retombées.

H' = Composante horizontale de l'effort de compression aux retombées.

$N\theta = \sqrt{H'^2 + P'^2}$: effort de compression méridien.

a/ Charges permanentes:

Notre coupole est de surface: $S = 2\pi R f$ ou:

R = rayon de la sphère

f = la flèche ($f \sim \frac{1}{g} \cdot 2r$)

Le poids total de la sphère est: $P_p = S \cdot p = 2\pi R f \cdot p$.

p : densité superficielle du complexe [charge en dAN/m^2]

- Le poids par mètre de pourtour sera donc:

$$\frac{P'}{P_p} = \frac{P_p}{2\pi R} = \frac{2\pi R f \cdot p}{2\pi R} = \frac{R \cdot f}{r} \cdot p$$

Or: le triangle rectangle OIA nous donne:

$$r^2 + (R-f)^2 = R^2 \Rightarrow r^2 + R^2 - 2Rf + f^2 = R^2 \Rightarrow \\ R = \frac{r^2 + f^2}{2f}$$

$$\text{d'où: } P'_p = p \cdot \frac{r^2 + f^2}{2f} \cdot \frac{f}{r} = p \cdot \frac{r^2 + f^2}{2r}$$

Sachant que les triangles OIA et $(H', N\theta, P'_p)$ sont semblables nous pouvons écrire la relation suivante :

$$\frac{r}{R-f} = \frac{P'_p}{H'} \Rightarrow H' = \frac{P'_p}{r} \cdot (R-f) \text{ où } R = \frac{r^2 + f^2}{2f} \Rightarrow$$

$$R-f = \frac{r^2 + f^2 - 2f^2}{2f} = \frac{r^2 - f^2}{2f} \Rightarrow H' = \frac{P'_p \cdot f \cdot (r^2 + f^2)}{2f \cdot r} \cdot \frac{r^2 - f^2}{2f} = p \cdot \frac{r^4 - f^4}{4 \cdot f \cdot r}$$

$$\Rightarrow H' = \frac{r^4 - f^4}{4 \cdot f \cdot r} \cdot p$$

b/ Surcharges: Si nous considérons une surcharge q par mètre carré de projection horizontale, nous calculerons de même

$$P_q = S \cdot q = \pi \cdot r^2 \cdot q, \quad \pi r^2 = \text{surface de la base du réservoir}$$

Par mètre de pourtour (contour)

$$P'_q = \frac{P_q}{2\pi r} = \frac{\pi r^2 \cdot q}{2\pi r} = \frac{q \cdot r}{2}$$

$$H'_q = P'_q \cdot \frac{R-r}{f} = \frac{q \cdot r}{2} \cdot \frac{R-r}{r} = \frac{q}{2} \cdot \frac{r^2 - f^2}{2f} \Rightarrow H'_q = \frac{r^2 - f^2}{4 \cdot f} \cdot q$$

Pratiquement on fait les calculs avec la formule de H'_p , c'est à dire pour les surcharges on aura :

$$H'_q = q \cdot \frac{r^4 - f^4}{4fr^2} \text{ au lieu de } H'_q = q \cdot \frac{r^2 - f^2}{4r}, \text{ ce qui donne un résultat dans le sens de sécurité, car :}$$

$$H'_q = q \cdot \frac{r^4 - f^4}{4fr^2} = q \cdot \frac{r^2 - f^2}{4f} \cdot \frac{r^2 + f^2}{r^2} = q \cdot \frac{r^2 - f^2}{4f} \cdot \left(1 + \frac{f^2}{r^2}\right) \Rightarrow$$

$$H'_q = q \cdot \frac{r^2 - f^2}{4f} \cdot \left(1 + O\left(\frac{f}{r}\right)\right) > q \cdot \frac{r^2 - f^2}{4f}.$$

$$\text{d'où } P'_q = \frac{q \cdot r}{2}, \quad H'_q = q \cdot \frac{r^4 - f^4}{4fr^2}, \quad N\theta = \sqrt{H'^2 + P'^2}$$

L'effort de compression dans les méridiens $N\theta$ suit à vérifier la contrainte de compression du béton : σ'_b .

$$\sigma'_b = \frac{N\theta}{b, e} = \frac{N\theta}{100 \cdot e}, \quad [b = 1 \text{ m}]$$

c/ Calcul de la ceinture:

Avec l'effort H' ainsi déterminé, on calculera l'effort de traction T dans la ceinture.

$$T = H' \cdot r = p \cdot \frac{r^4 - f^4}{4fr^2} \cdot r = p \cdot \frac{r^4 - f^4}{4fr}, \text{ et la section d'acier:}$$

$$A = \frac{T}{\sigma_a}$$

La contrainte de traction dans la ceinture est:

$$\sigma_b = \frac{T}{B_0} = \frac{T}{B + nA} \quad \text{ou: } B_0 = \text{Section homogène.}$$

Application numérique:

n : coef d'équivalence.

$$r = 15,625 \text{ m}, f = 3,50 \text{ m}$$

$$l = 0,08 \text{ m}, h = 6,70 \text{ m}$$

$$R = \frac{r^2 + f^2}{2f} = \frac{\overline{15,625}^2 + \overline{3,5}^2}{2 \times 3,5} = 36,63 \text{ m}$$

$$S = 2\pi R f = 2\pi \cdot 36,63 \cdot 3,5 = 805,6 \text{ m}^2 \approx 806 \text{ m}^2.$$

1°/ cas des charges:

$$\text{- Poids propre: } P_p = 2500 \times 0,08 = 200 \text{ dan/m}^2.$$

$$\text{- Plancher/é isolation: } P_e = 40 \text{ dan/m}^2$$

$$\text{Total} : P = P_p + P_e = 240 \text{ dan/m}^2$$

2°/ cas des surcharges:

$$\text{- Surcharge d'exploitation: } q = 100 \text{ dan/m}^2.$$

3°/ Calcul des efforts:

Charges et surcharges par mètre de pourtour.

$$\text{- Charges: } P'_p = \frac{P \cdot S}{2\pi r} = \frac{240 \cdot 806}{2\pi \cdot 15,625} = 1970,4 \text{ dan/mp.}$$

$$\text{- Surcharges: } P'_q = \frac{q \cdot r}{2} = \frac{100 \cdot 15,625}{2} = 781,25 \text{ dan/mp.}$$

$$\Rightarrow P' = P'_p + 1,2 P'_q = 1970,4 + 1,2 \cdot 781,25 = 2908 \text{ dan/mp.}$$

$$\text{- Poussée horizontale: on a: } H' = p' \cdot \frac{r^4 - f^4}{4fr^2} \text{ avec:}$$

$$p' = p + 1,2 q = 240 + 1,2 \cdot 100 = 360 \text{ dan/m}^2.$$

$$\text{d'où: } H' = 360 \cdot \frac{\overline{15,625}^4 - \overline{3,5}^4}{4 \cdot 3,5 \cdot \overline{15,625}^2} = 6262,1 \text{ dan/m.}$$

- Effort de compression dans les meridiens:

$$N_\theta = \sqrt{H'^2 + P'^2} = \sqrt{6262,1^2 + 2908^2} = 6904,4 \frac{\text{dan}}{\text{m}}$$

4°/ Calcul des contraintes:

- Contrainte de compression du béton :

$$\sigma'_b = \frac{N\theta}{100 \cdot e} = \frac{6904,4}{100 \cdot 8,0} = 8,63 < \bar{\sigma}_b.$$

- Contrainte de cisaillement :

$$\tau_b = \frac{P'}{100 \cdot e} = \frac{2908}{100 \cdot 8} = 3,635 < \bar{\tau}_b$$

5°/ Calcul des armatures:

Le taux de travail du béton n'est pas dépassé, donc à lui seul suffit, mais on mettra un ferrailage destiné à résister aux efforts des efforts dissymétriques.

- Suivant les meridiens: $A_m = 0,3 \cdot e = 0,3 \cdot 8 = 2,4 \text{ cm}^2$

$$A_m = 5HA8/\text{ml} = 2,51 \text{ cm}^2$$

- Suivant les parallèles : $A_p = \frac{A_m}{3} = \frac{2,4}{3} = 0,8 \text{ cm}^2$

$$A_p = 4HA6/\text{ml} = 1,13 \text{ cm}^2$$

6°/ Vérification de la coupole au poinçonnement:

on vérifiera la coupole au poinçonnement causé par une charge de 150 kg reportée sur une surface de $40 \times 40 \text{ cm}^2$.

$$1,5 \cdot \frac{P}{P_c \cdot h_t} \leq 1,2 \cdot \bar{\sigma}_b \quad \text{avec:}$$

$$h_t = \text{épaisseur de la coupole} = e = 8 \text{ cm}$$

$$P = \text{charge de } 150 \text{ kg}$$

$$P_c = \text{Perimètre dans le plan moyen de la coupole.}$$

En tenant compte de la diffusion :

$$P_c = 40 \cdot (40 + 2 \cdot \frac{h_t}{2}) = 40 \cdot (40 + 8) = 1920 \text{ cm.}$$

$$\text{donc: } 1,5 \cdot \frac{P}{P_c \cdot h_t} = 1,5 \cdot \frac{150}{1920 \cdot 8} = 0,015 \text{ Kg/cm}^2 \ll 1,2 \bar{\sigma}_b.$$

Calcul de la ceinture:

$$T = H' \cdot r = 6262,1 \cdot 15,625 = 97845,3 \text{ daN}$$

La section d'acier est :

En choisissant des HA 20 $\Rightarrow \bar{\sigma}_a = 1224 \text{ kg/cm}^2$

$$A = \frac{T}{\bar{\sigma}_a} = \frac{97845,3}{1224} = 79,94 \text{ cm}^2$$

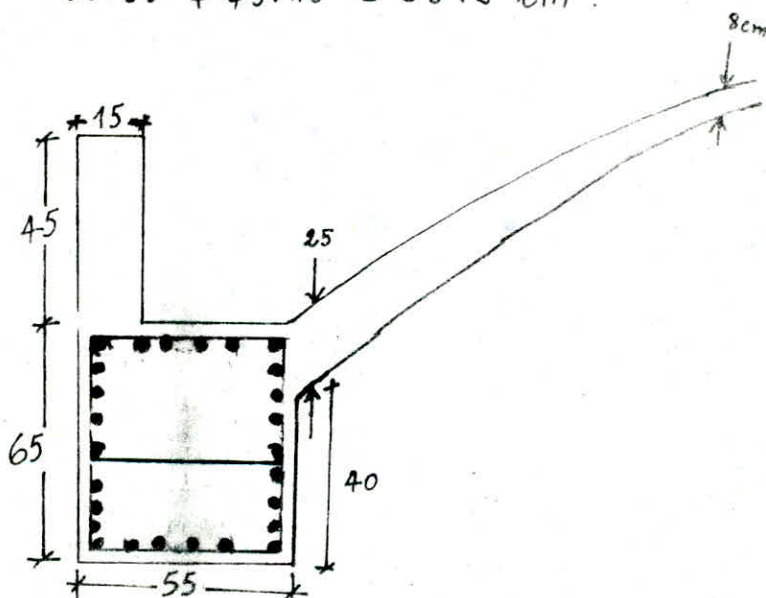
$$\Rightarrow A = 26 \text{ HA 20} = 81,68 \text{ cm}^2$$

La section du béton nécessaire en limitant la contrainte de traction du béton à 19 bars.

$$B = \frac{T}{\bar{\sigma}_a} - nA = \frac{97845,3}{19} - 15 \cdot 19,94 = 3950,7 \text{ cm}^2$$

or la section de la ceinture est :

$$65 \cdot 55 + 45 \cdot 15 = 3975 \text{ cm}^2$$



Vérification de la ceinture:

a/ à la condition de fragilité.

$$\omega_f = \frac{A}{B} > \frac{3 \bar{\sigma}_b}{\sigma_{en}} \Rightarrow \bar{A} > \frac{3 \bar{\sigma}_b}{\sigma_{en}} \cdot B = \frac{3 \cdot 6,25}{4200} \cdot 3975 = 17,75 \text{ cm}^2$$

$$A = 81,68 \text{ cm}^2 > \bar{A} = 17,75 \text{ cm}^2 \rightarrow \text{Vérifie.}$$

b/ à la condition de fissuration:

$$\sigma_1 = K \cdot \frac{n}{\phi} \cdot \frac{w_f}{1 + 10 w_f}, \quad w_f = \frac{A}{B} = \frac{81,68}{3975} = 0,021.$$

$K = 0,5 \cdot 10^6$

$$\eta = 1,6, \quad \phi = 20 \Rightarrow \sigma_1 = 0,5 \cdot 10^6 \cdot \frac{1,6}{20} \cdot \frac{0,021}{1 + 10 \cdot 0,021} = 694,21 \frac{\text{kg}}{\text{cm}^2}$$

$694,21 \frac{\text{kg}}{\text{cm}^2} < \sigma_2.$

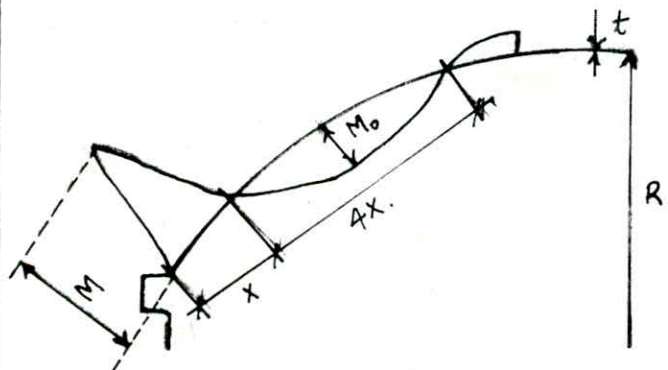
$$\Rightarrow \text{Verification: } \bar{\sigma}_a = \min \left\{ \frac{2}{3} \cdot \sigma_{en} = 2800 \right. \\ \left. \max(\sigma_1, \sigma_2) = \sigma_2. \right.$$

$$\sigma_a = \frac{T}{A} = \frac{97845,3}{81,68} = 1197,9 = 1198 \frac{\text{kg}}{\text{cm}^2} < \bar{\sigma}_a = 1224 \frac{\text{kg}}{\text{cm}^2}.$$

Armatures transversales de la coquille:

c) Vérification à la torsion:

on note l'existence d'un moment de faible valeur dans la partie inférieure de la coupole qui est donné par le DESIGN OF THIN SHELL STRUCTURES.



t : épaisseur de la coupole

$t = 0,08 \text{ m}$

R : rayon de la sphère

$R = 36,63 \text{ m}$.

$$\text{PNA: } x = 0,6 \sqrt{R \cdot t} = 0,6 \sqrt{36,63 \cdot 0,08} = 1,027 \text{ m}$$

$$4x = 4 \cdot 1,027 = 4,108 \text{ m.}$$

Le Moment M est donné par la relation:

$$M = P' \cdot \frac{x^2}{2} = 2908 \cdot \frac{1,027^2}{2} = 1533,6 \text{ Kg.m}$$

$$= 1,534 t \cdot m.$$

Le moment Mo est donné par:

$$Mo = \frac{M}{7,5} = \frac{1,534}{7,5} = 0,204 t \cdot m$$

L'existence de ce moment introduit une torsion dans la ceinture qui engendre des contraintes de cisaillement. Pour une section rectangulaire, la contrainte tangente est maximale au milieu des grands côtés (points A).

Si nous appelons b le grand côté de la section, la valeur de T_{bm} est donnée par :

$$T_{bm} = \frac{K \cdot M_t}{a^2 \cdot b}$$

où, les valeurs de K seront prises d'un tableau, en fonction de $\frac{b}{a}$.

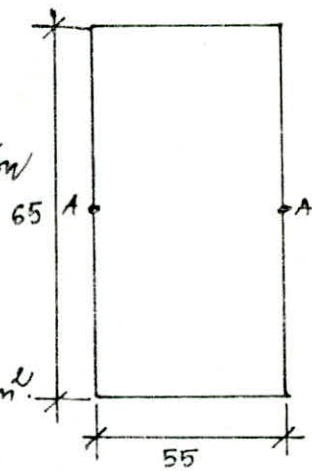
M_t = Moment de torsion agissant sur la section

$$\frac{b}{a} = \frac{65}{55} = 1,2 \Rightarrow K = 4,62.$$

d'où :

$$T_{bm} = \frac{4,62 \cdot 1,534 \cdot 10^5}{55^2 \cdot 65} = 3,604 \text{ kg/cm}^2$$

Et comme : $\frac{b}{a} = 1,2 < 3,5 \Rightarrow$ les règles



CCBAG8 donnent le pourcentage d'armatures transversales par :

$$\tilde{\omega}_t = \frac{a+b}{3b} \cdot \frac{T_{bm}}{\bar{\sigma}_a} \quad , \quad \text{En prenant } \bar{\sigma}_a = 1470 \text{ kg/cm}^2$$

$$\tilde{\omega}_t = \frac{55+65}{3 \cdot 65} \cdot \frac{3,604}{1470} = 0,0015$$

- La section du béton sera donc :

$$B = 55 \times 65 = 3575 \text{ cm}^2$$

- Volume par centimètre = $0,0015 \cdot 3575 = 5,36 \text{ cm}^3$.

Avec les cadres en $\phi 10$ (HA10) (section d'1 HA10 = $0,78 \text{ cm}^2$)

Le volume d'un cadre à pour valeur :

$$2 \cdot 0,78 (61 + 51) = 174,72 \text{ cm}^3$$

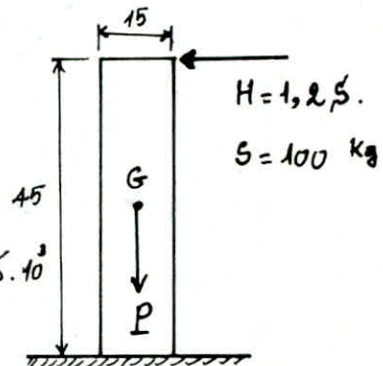
- où l'écartement des cales :

$$e_0 = \frac{174,72}{5,36} = 32,597 \approx 32,6 < a = 55 \text{ cm.}$$

"voir section de la ceinture".

Calcul de l'acrotère:

on suppose que l'acrotère est encastré à la base. Elle sera donc calculée en flexion composée.



1) Détermination des efforts:

- L'effort normal: $N, N = P = 0,45 \cdot 0,15 \cdot 2,5 \cdot 10^3$
 $\Rightarrow N = 168,75 \text{ Kg / ml.}$

- Le moment fléchissant à la base:

$$\cdot M = 0,45 \cdot (1,2 \cdot 100) = 54 \text{ Kg.m / ml.}$$

- L'excentricité: $e_0 = \frac{M}{N} = \frac{5400}{168,75} = 32 \text{ cm.}$
 $e_1 = \frac{ht}{6} = \frac{15}{6} = 2,5 \text{ cm.}$

$\Rightarrow e_0 > e_1 \Rightarrow$ Section partiellement comprimée.

En prenant: $\bar{\sigma}_b' = 150 \text{ Kg/cm}^2$

$$\cdot \bar{\sigma}_a = 1731 \text{ Kg/cm}^2 \quad (\text{HA10}).$$

2) Calcul des moments: M_f et M_{rb}

- Moment fictif: $M_f, M_f = N \cdot f$ avec $f = \text{flèche}$

$$\cdot f = e_0 + \frac{ht}{2} - d = 32 + 7,5 - 3 = 36,5 \text{ cm}$$

$$\Rightarrow M_f = 168,75 \cdot 36,5 = 61,6 \text{ kg.m / ml.}$$

- Moment résistant du béton: M_{rb} ,

$$\cdot M_{rb} = \frac{1}{2} \cdot \bar{\sigma}_b' \cdot \bar{x} \cdot \bar{Y} \cdot b \cdot h^2, \quad h = ht - d.$$

$$\cdot \bar{x} = \frac{n \bar{\sigma}_b'}{n \bar{\sigma}_b' + \bar{\sigma}_a} = \frac{15 \cdot 150}{15 \cdot 150 + 1731} = 0,565$$

$$\cdot \bar{\gamma} = 1 - \frac{\bar{a}}{3} = 1 - \frac{0,565}{3} = 0,812$$

d'où: $M_{rb} = 0,5 \cdot 150 \cdot 0,565 \cdot 0,812 \cdot 100 \cdot \bar{t}^2 = 4954,8 \text{ Kg.m/ml}$

$\Rightarrow M_{rb} > M_f \Rightarrow$ le béton seul peut équilibrer l'effort
 $M_{ext} \Rightarrow A' = 0$ (Armatures comprimées ne sont pas nécessaires).

3°) Détermination des armatures:

Pour la détermination de la section d'acier, nous utilisons la méthode de Pierre Charron en calculant:

$$\mu = \frac{15 \cdot M}{\bar{\sigma}_a \cdot b \cdot h^2} = \frac{15 \cdot M_f}{\bar{\sigma}_a \cdot b \cdot h^2} = \frac{15 \cdot 61,6 \cdot 10^3}{1731 \cdot 100 \cdot \bar{t}^2} = 3,706 \cdot 10^{-3} \\ = 0,0037.$$

du tableau $\Rightarrow \begin{cases} E = 0,9721 \\ K = 164 \end{cases}$

- la section d'acier sera donc:

$$A_{fs} = \frac{M}{\bar{\sigma}_a \cdot E \cdot h} = \frac{6160}{1731 \cdot 0,9721 \cdot 12} = 0,31 \text{ cm}^2$$

$$A_{fc} = A_{fs} - \frac{M_f}{\bar{\sigma}_a} = 0,31 - \frac{168,75}{1731} = 0,21 \text{ cm}^2$$

Comme la section d'acier est très faible, nous prenons la section réduite par la condition de non fragilité qui vérifie:

$$A \geq 0,69 \cdot \frac{\bar{\sigma}_a}{\bar{\sigma}_{en}} \cdot b \cdot h = 0,69 \cdot \frac{6,25}{4200} \cdot 100 \cdot 10 = 1,02 \text{ cm}^2$$

- on prendra donc: $5448/\text{ml} \Rightarrow A = 2,51 \text{ cm}^2$

4°) Vérification des contraintes:

- $\bar{\sigma}'_b = \frac{\bar{\sigma}_a}{K} = \frac{1731}{164} = 10,55 \text{ kg/cm}^2 \ll \bar{\sigma}'_b$.

- A l'enca斯特rement (appui):

$$T = 1,2 S = 1,2 \cdot 100 = 120 \text{ kg}$$

$$A = 2,51 \text{ cm}^2, \bar{\sigma}_a = 1731 \text{ kg/cm}^2, z = \frac{7}{8} h = \frac{7}{8} \cdot 10 = 8,75 \text{ cm}$$

donc: $A \cdot \bar{\sigma}_a = 2,51 \cdot 1731 = 4345 \text{ kg}$.

$$T + \frac{M}{3} = 120 + \frac{5400}{8,75} = 737,14 \text{ kg.} \Rightarrow A \cdot \bar{\sigma}_a > T + \frac{M}{3}$$

- au séisme local:

L'effort sismique horizontal F_p est donné par :

$$F_p = Z_I \cdot C_p \cdot V/p$$

• $Z_I = 1,19$ (Zone II, groupe d'usage 1)

• $C_p = 0,8$ (élément de console).

• $V/p = 75 \text{ Kg/ml.}$

$$\Rightarrow F_p = 1,19 \cdot 0,8 \cdot 75 = 71,5 \text{ Kg/ml}$$

$$F_p < 1,25 = 120 \text{ Kg/ml.}$$

* Ouvertures de la coupole:

Notre coupole comporte deux sortes d'ouverture :

1°/ ouverture sur chaque rayon de 60° mm, chenuee

- Rôle : l'aération.

2°/ ouverture de 0,5 m de diamètre pour le nettoyage.

Ces deux sortes d'ouvertures sont soumises seulement à la compression et comme le béton vérifie la compression, nous adopterons un ferraillage de principe qui consistera à relever le ferraillage méridien de la coupole.

Remarques:

- L'acostière a été dimensionnée avec un effort supérieur à la force sismique et donc elle est vérifiée au séisme local.
- On laissera 54A8/ml en attente à partir de la pointe afin d'assurer l'enca斯特ement de l'acostière.

ETUDE
DES PAROIS

Etude de la paroi.

Notre réservoir étant semi-enterré, le niveau des terres est inférieur à celui de l'eau, donc la paroi du réservoir est soumise à deux poussées.

1^o. La poussée de l'eau qui sollicite un effort de traction dans la paroi.

2^o. La poussée des terres qui crée une sollicitation de compression dans la paroi.

Les deux poussées sont respectivement intérieures et extérieures au réservoir et de sens contraire.

- Pour des raisons sécuritaires, le calcul des cercles dans la paroi se fait en ne tenant compte que de l'effet de la poussée de l'eau tandis que pour la poussée des terres on vérifie que les contraintes introduites dans la paroi sous l'effet de cette poussée sont inférieures aux contraintes admissibles.

on étudie donc la paroi sous deux cas :

1^{er} cas : cas où le réservoir est plein, donc il est soumis à la poussée de l'eau. Pour une question sécuritaire on néglige la poussée des terres dans ce cas.

2^{er} cas : cas où le réservoir est vide donc il est soumis à l'action des terres seulement, on supposera que le réservoir est complètement enterré (jusqu'à la base de la ceinture).

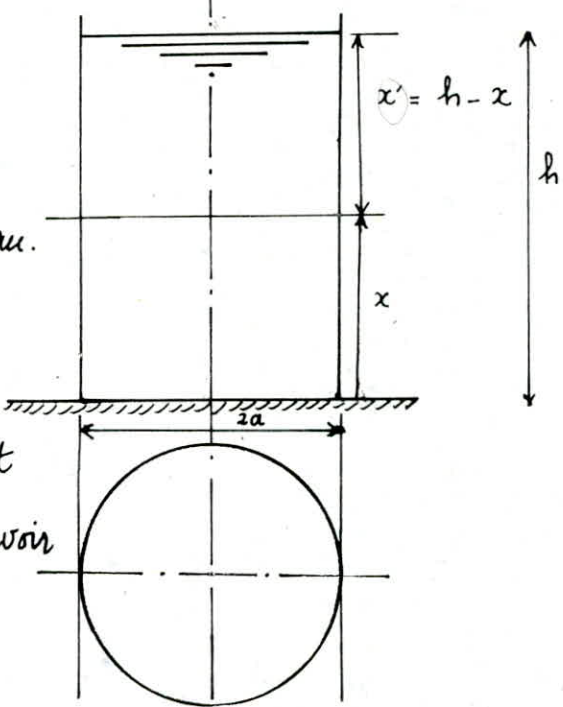
à partir de l'équation générale des réservoirs, nous calculons la solution pour un réservoir si épaisseur constante ($t = \text{const}$).

a : rayon intérieur du réservoir

h : hauteur utile de l'eau.

nous souhaitons se poser positivement vers le haut en partant de la base du réservoir
on a alors :

$$p_r = \gamma \cdot (h - x)$$



p_r : pression de l'eau , γ : masse volumique de l'eau.
en prenant une résistance à la flexion constante, l'équation différentielle s'écrit :

$$K w''' + D \cdot a^2 \cdot (1 - D^2) \cdot w = \gamma \cdot a^4 \cdot (h - x) \dots \textcircled{I}$$

où : D , K , déjà définis. (théorie de flexion).

- Les relations entre le déplacement et les éléments de réduction sont :

- $N\varphi = \frac{D(1 - D^2)}{a} \cdot w$: poussée radiale sur l'élément de paroi
- $M_x = K \cdot w''$: moment fléchissant sur l'élément de paroi
- $T_x = \frac{\partial M_x}{\partial x} = K \cdot \frac{\partial w''}{\partial x} = K \cdot w'''$: effort tranchant sur l'élément de paroi.

- L'état de membrane $N\varphi = \gamma a (h - x)$ donne immédiatement une solution particulière pour l'équation \textcircled{I} :

$$\omega = \frac{\gamma a^2}{D(1-\nu^2)} \cdot (h-x)$$

Pour calculer l'équation générale nous utiliserons l'équation homogène qui doit contenir quatre constantes. Par l'hypothèse de solution exponentielle : $\omega = C \cdot e^{x \cdot \frac{\alpha}{a}}$ qui par remplacement fournit l'équation caractéristique :

$$\lambda^4 + 4\alpha^4 = 0$$

Avec l'observation :

$$\lambda^4 = \frac{D a^2 (1 - \nu^2)}{4K} = 3 \frac{a^2}{t^2} (1 - \nu^2)$$

$$\Rightarrow \alpha = \sqrt[4]{\frac{3a^2(1-\nu^2)}{t^2}}$$

si l'on porte la racine : $\lambda = \pm (i \pm i)$ dans l'hypothèse de solution on peut de nouveau remplacer les fonctions exponentielles et exposants imaginaires par des fonctions circulaires et on obtient pour la solution homogène :

$$\omega = e^{-\frac{\alpha}{a} \cdot x} \left(C_1 \cos \frac{\alpha}{a} x + C_2 \sin \frac{\alpha}{a} x \right) + e^{-\frac{\alpha}{a} \cdot x'} \left(C_3 \cos \frac{\alpha}{a} x' + C_4 \sin \frac{\alpha}{a} x' \right)$$

avec : $x' = h - x$.

Comme α est un terme de grande valeur alors les fonctions $e^{+\alpha x}$ et $e^{+\alpha x'}$ croissent très vite en faisant varier x ou x' à partir de zéro. Contairement les fonctions $e^{-\alpha x}$ et $e^{-\alpha x'}$ décroissent rapidement et auront des valeurs très faibles d'un bord à l'autre.

Sur le bord inférieur on aura comme solution homogène

$$\omega = e^{-\frac{\alpha}{a} \cdot x} \left(C_1 \cos \frac{\alpha}{a} \cdot x + C_2 \sin \frac{\alpha}{a} \cdot x \right).$$

Et la solution générale de l'équation non homogène sera :

$$\cdot w = \frac{\gamma a^2}{D(1-\nu^2)} \cdot (h-x) + e^{-\frac{\alpha}{a}x} \left(C_1 \cos \frac{\alpha}{a}x + C_2 \sin \frac{\alpha}{a}x \right)$$

Calcul des dérivées : w' , w'' , et w''' :

$$\cdot w' = \frac{\partial w}{\partial x} = - \frac{\gamma a^2}{D(1-\nu^2)} + \frac{\alpha}{a} \cdot e^{-\frac{\alpha}{a}x} \left[(C_2 - C_1) \cos \frac{\alpha}{a}x + (C_1 + C_2) \sin \frac{\alpha}{a}x \right]$$

$$\cdot w'' = - 2 \cdot \frac{\alpha^2}{a^2} \cdot e^{-\frac{\alpha}{a}x} \left[C_2 \cos \frac{\alpha}{a}x - C_1 \sin \frac{\alpha}{a}x \right]$$

$$\cdot w''' = \frac{\partial^3 w}{\partial x^3} = + 2 \cdot \frac{\alpha^3}{a^3} \cdot e^{-\frac{\alpha}{a}x} \left[(C_1 + C_2) \cos \frac{\alpha}{a}x - (C_1 - C_2) \sin \frac{\alpha}{a}x \right]$$

Détermination des constantes d'intégration C_1 et C_2 :

Puisque le réservoir est supposé encastré à la base sur le radier w et $\frac{\partial w}{\partial x}$ doivent s'annuler pour $x=0$.

d'où: $\begin{cases} w(x=0) = 0 & \dots \dots \dots \textcircled{1} \\ \frac{\partial w}{\partial x}(x=0) = 0 & \dots \dots \dots \textcircled{2} \end{cases}$

$$\textcircled{1} \Rightarrow C_1 + \frac{\gamma a^2}{D(1-\nu^2)} \cdot h = 0 \Rightarrow C_1 = - \frac{\gamma a^2}{D(1-\nu^2)} \cdot h$$

$$\textcircled{2} \Rightarrow - \frac{\gamma a^2}{D(1-\nu^2)} + \frac{\alpha}{a} (C_2 - C_1) = 0$$

$$\Rightarrow C_2 = \frac{\alpha}{a} \cdot \frac{\alpha}{a} \cdot \frac{\gamma a^2}{D(1-\nu^2)} \cdot h + \frac{\gamma a^2}{D(1-\nu^2)} \cdot \frac{a}{\alpha}$$

$$= \frac{\gamma a^3}{D(1-\nu^2)} - \frac{\gamma a^2}{D(1-\nu^2)} \cdot h$$

$$\Rightarrow C_2 = \frac{\alpha D(1-\nu^2)}{D(1-\nu^2)} \cdot \left(\frac{a}{\alpha} - h \right)$$

En remplaçant les constantes C_1 et C_2 par leurs valeurs dans les expressions de w , w'' et w''' , nous obtenons donc :

$$w = e^{-\frac{\alpha}{a}x} \left[- \frac{\gamma a^2 h}{D(1-\nu^2)} \cdot \cos \frac{\alpha}{a}x + \frac{\gamma a^2}{D(1-\nu^2)} \cdot \sin \frac{\alpha}{a}x \right] + \frac{\gamma a^2}{D(1-\nu^2)} \cdot (h-x)$$

$$w'' = - \frac{2 \gamma \alpha^2}{D(1-\nu^2)} \cdot e^{-\frac{\alpha}{a}x} \left[\left(\frac{a}{\alpha} - h \right) \cos \frac{\alpha}{a}x + h \sin \frac{\alpha}{a}x \right]$$

d'où:

$N\varphi$ = effort annulaire dans la paroi.

$$N\varphi = \gamma a e^{-\frac{\alpha}{a} \cdot x} \left[-h \cos \frac{\alpha}{a} \cdot x + \left(\frac{a}{\alpha} - h \right) \sin \frac{\alpha}{a} \cdot x \right] + \gamma a (h - x)$$

M_x = moment fléchissant.

$$M_x = -\frac{\gamma \alpha^2 t^2}{6(1-\nu^2)} \cdot e^{-\frac{\alpha}{a} \cdot x} \left[\left(\frac{a}{\alpha} - h \right) \cos \frac{\alpha}{a} \cdot x + h \sin \frac{\alpha}{a} \cdot x \right]$$

T_x = effort tranchant.

$$T_x = -\frac{\gamma \alpha^3 t^2}{6(1-\nu^2) \cdot a} \cdot e^{-\frac{\alpha}{a} \cdot x} \left[\left(2h - \frac{a}{\alpha} \right) \cos \frac{\alpha}{a} \cdot x - \frac{a}{\alpha} \sin \frac{\alpha}{a} \cdot x \right]$$

Remarque: Le calcul des charges fixe le poids volumique de l'eau (γ) à 1200 kg/m^3 au lieu de 1000 kg/m^3 pour le calcul des réservoirs.

Application numérique:

$$t = 25 \text{ cm} , \quad h = 6,70 \text{ m} , \quad a = 15,5 \text{ m}$$

$$\bar{v} = [0,15, 0,30] = 0,15 \quad (\text{P.C. page 36}).$$

$$1. \quad \alpha = \sqrt[4]{\frac{3 \cdot a^2 \cdot (1-\nu^2)}{t^2}} = \sqrt[4]{\frac{3 \cdot 15,5^2 \cdot (1-0,15^2)}{(0,25)^2}} = 10,304.$$

$$\Rightarrow \frac{\alpha}{a} = \frac{10,304}{15,500} = 0,665 \quad \Rightarrow \frac{a}{\alpha} = 1,504$$

$$2. \quad \gamma = 1200 \text{ kg/m}^3 \Rightarrow \gamma a = 18600 \text{ kg/m}^2$$

$$3. \quad \frac{a}{\alpha} - h = 1,504 - 6,70 = -5,196 \text{ m}$$

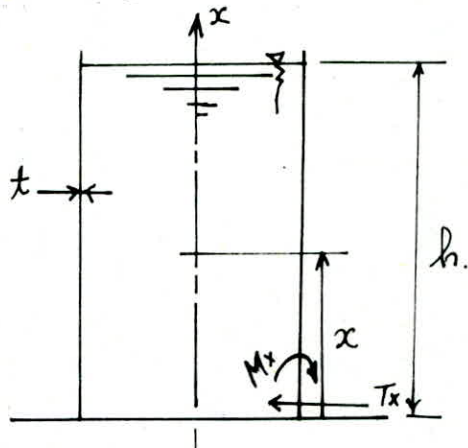
$$4. \quad 2h - \frac{a}{\alpha} = 2 \cdot 6,70 - 1,504 = 11,896 \text{ m.}$$

$$5. \quad \frac{\gamma \alpha^2 t^2}{6(1-\nu^2)} = \frac{1200 \cdot 10,304^2 \cdot 0,25^2}{6(1-0,15^2)} = 1357,704 .$$

$$6. \quad \frac{\gamma \alpha^3 t^2}{6(1-\nu^2) \cdot a} = \frac{1200 \cdot 10,304^3 \cdot 0,25^2}{6(1-0,15^2) \cdot 15,5} = 902,57 .$$

- les expressions de $N\varphi$, M_x et T_x seront donc :

- * $N\varphi = 18600 \cdot e^{-0,665 \cdot x} \left[-6,7 \cdot \cos 0,665 \cdot x - 5,196 \sin 0,665 \cdot x \right]$
- * $M_x = -1357,704 \cdot e^{-0,665 \cdot x} \cdot \left[-5,196 \cos 0,665 \cdot x + 6,708 \sin 0,665 \cdot x \right]$
- * $T_x = -902,57 \cdot e^{-0,665 \cdot x} \left[11,896 \cos 0,665 \cdot x - 1,504 \sin 0,665 \cdot x \right]$



N.B : Tous les résultats des calculs seront dressés dans le tableau suivant.

<i>cotes x</i> [m]	<i>N_q</i> [t/ml]	<i>M_x</i> [t.m/ml]	<i>T_x</i> [t/ml]
0,00	0,00	7,05	-10,76
0,50	8,82	2,65	-6,96
1,00	22,03	-0,03	-3,91
1,50	39,85	-1,41	-1,73
2,00	54,75	-1,89	-3,28
2,50	62,03	-1,84	+0,44
3,00	63,81	-1,52	+0,77
3,50	61,00	-0,93	+0,82
4,00	54,81	-0,63	+0,71
4,50	46,39	-0,38	+0,54
5,00	36,67	-0,19	+0,37
5,50	26,35	-0,06	+0,22
6,00	15,89	+0,01	+0,11
6,50	5,54	+0,05	+0,04
6,70 .	0,00.	0,00.	+0,00 .

- La paroi étant divisée en nivole de 0,50m.
- Les valeurs de N_q , M_x et T_x sont données dans le 1^{er} cas:
 - cas du réservoir plein -

Cas. II : cas où le réservoir est vide :

Quand le réservoir est vide sa paroi n'est soumise qu'à la poussée des teneurs. On suppose que le réservoir est entièrement enterré, jusqu'à la base de la cimenture.

À l'après le rapport du sol nous avons constaté que, ces teneurs sont constituées d'un remblai Argilo-gravileuse dont les caractéristiques sont :

$$\gamma_t = \text{poids spécifique} = 1700 \text{ à } 2000 \text{ dan/m}^3$$

$$c = \text{cohésion} = 0,1 \text{ à } 0,3 \text{ K.dan/m}^2$$

$$\varphi = \text{angle de frottement} = 25^\circ \text{ à } 40^\circ$$

Et comme nous n'avons pas les valeurs exactes nous prendrons des valeurs sécurisantes, c'est à dire :

$$\gamma_t = 2000 \text{ dan/m}^3$$

$$c = 0$$

$$\varphi = 30^\circ$$

Nous calculons les éléments de réduction de la même façon que pour le cas "calcul de la poussée de l'eau" avec :

$$M_{xt} = - K_a \cdot \frac{\gamma_t}{\gamma} \cdot M_{xe}$$

Avec : K_a = coefficient de la poussée horizontale.

on a d'après RESAL ; $K_a = f(\varphi, \theta) = f(30^\circ, 0)$

où : θ : Inclinaison de la paroi. $= 0,270$

$$\theta = 0^\circ$$

φ = angle de frottement ; $\varphi = 30^\circ$

γ_t : densité des teneurs ; $\gamma_t = 2000 \text{ dan/m}^3$.

Dans ce cas h sera la hauteur totale du réservoir, nous prendrons, en plus de la hauteur utile d'eau la hauteur des vagues augmentée d'une marge de sécurité.

d'où: $h = 8,00 \text{ m}$ au lieu de $6,700 \text{ m}$.

et r sera le rayon moyen du réservoir : $r = 15,75 \text{ m}$

Calcul:

$$a = 15,75 \text{ m}, \quad h = 8 \text{ m}, \quad t = 0,25 \text{ m} \Rightarrow$$

$$1. \quad \alpha = \sqrt{\frac{3 \cdot 15,75^2 \cdot (1 - 0,15^2)}{0,25^2}} = 10,387$$

$$2. \quad \frac{\alpha}{a} = \frac{10,387}{15,75} = 0,659 \Rightarrow \frac{a}{\alpha} = 1,517$$

$$3. \quad K_a \cdot \gamma_t = 0,27 \cdot 2000 = 540 \text{ Kg/m}^3 \Rightarrow K_a \cdot \gamma_t \cdot a = 8505 \text{ Kg/m}^3$$

$$4. \quad \frac{a}{\alpha} - h = 1,517 - 8 = -6,483$$

$$5. \quad 2h - \frac{a}{\alpha} = 16 - 1,517 = 14,483$$

$$6. \quad \frac{K_a \cdot \gamma_t \cdot t^2 \cdot \alpha^2}{6(1 - \alpha^2)} = \frac{540 \cdot 10,387^2 \cdot 0,25^2}{6(1 - 0,15^2)} = 620,85$$

$$7. \quad \frac{K_a \cdot \gamma_t \cdot t^2 \cdot \alpha^3}{6(1 - \alpha^2) \cdot a} = 620,85 \cdot 0,659 = 409,45.$$

d'où:

$$* N_{ft} = -8505 \cdot e^{-0,659x} \left[-8 \cos 0,659x - 6,483 \sin 0,659x \right] + 8505. (B-x)$$

$$* M_{xt} = +620,85 e^{0,659x} \left[-6,483 \cos 0,659x + 8 \sin 0,659x \right].$$

Remarque:

Les poussées de l'eau et des tems, sont de part et d'autre de la paroi, et de sens opposé.

efforts cote en m	Nq_t [t/m]	M_{xt} [t.m/m]
0,00	0,00	- 4,02
0,50	- 4,65	- 1,58
1,00	- 14,24	- 0,07
1,50	- 24,22	0,72
2,00	- 32,19	1,02
2,50	- 35,19	1,01
3,00	- 39,23	0,85
3,50	- 38,75	0,63
4,00	- 36,37	0,42
4,50	- 32,72	0,24
5,00	- 28,32	0,12
5,50	- 23,55	0,03
6,00	- 18,67	- 0,02
6,50	- 13,84	- 0,04
7,00	- 9,12	- 0,05
7,50	- 4,55	- 0,04
8,00	0,00	0,00

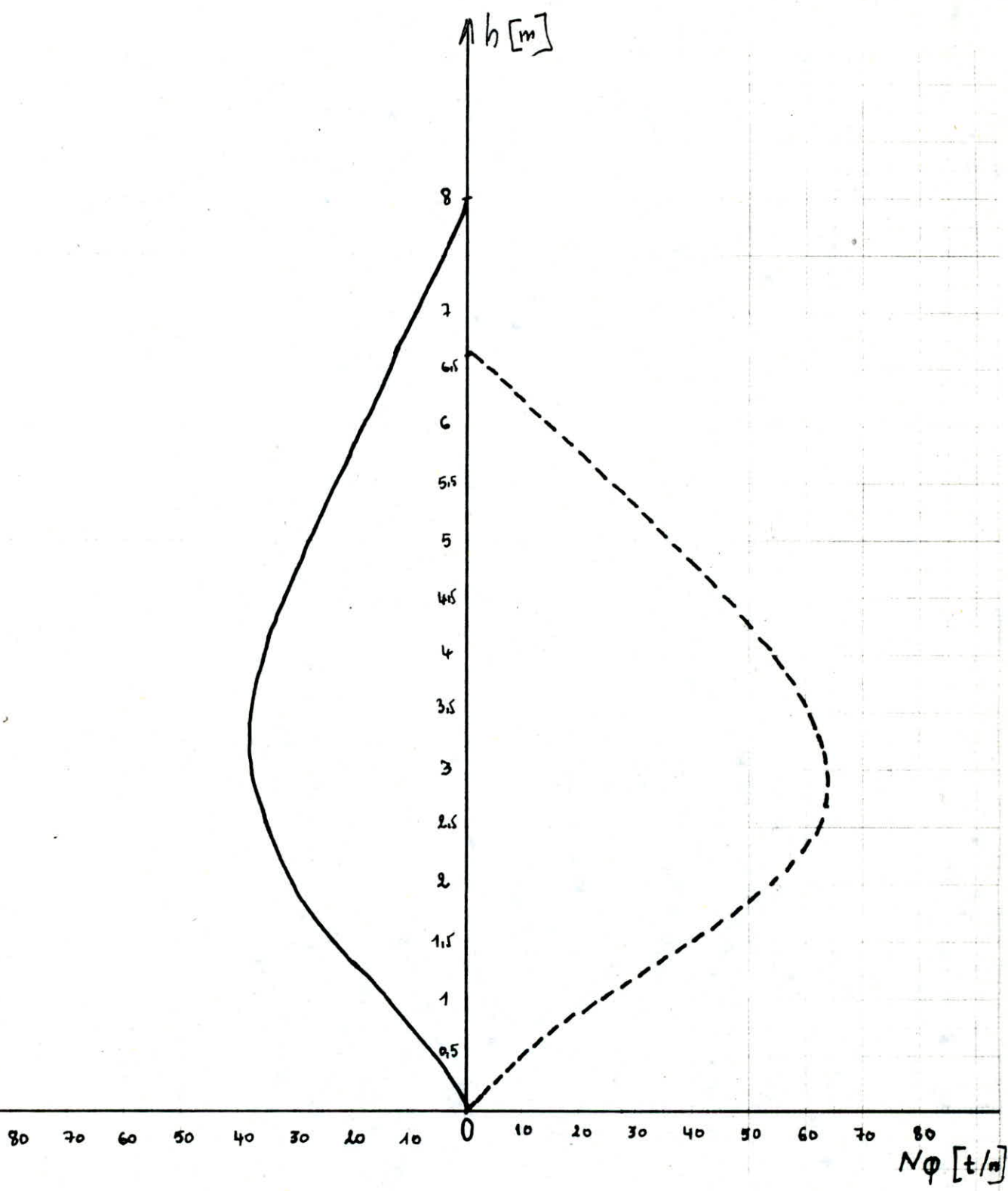
Nq_t : P.R. où à la poussée des fûnes.

M_{xt} : Moment fléchissant où
à la poussée des fûnes

Remarque:

les poussées de l'eau et des
fûnes sont de part et d'autre
de la paroi du réservoir donc
de sens opposé.

* Diagrammes des éléments de réduction :
dans la page suivante ; ⇒



$N\varphi_e$ [t/m³] ; h : hauteur = 6,70m (utile de l'eau).

$N\varphi_t$ [t/m³] , h : hauteur = 8m (hauteur de la toiture).

* $N\varphi_{e \max} = 63,81 \text{ t/m}^3$

* $N\varphi_{t \max} = 39,23 \text{ t/m}^3$.

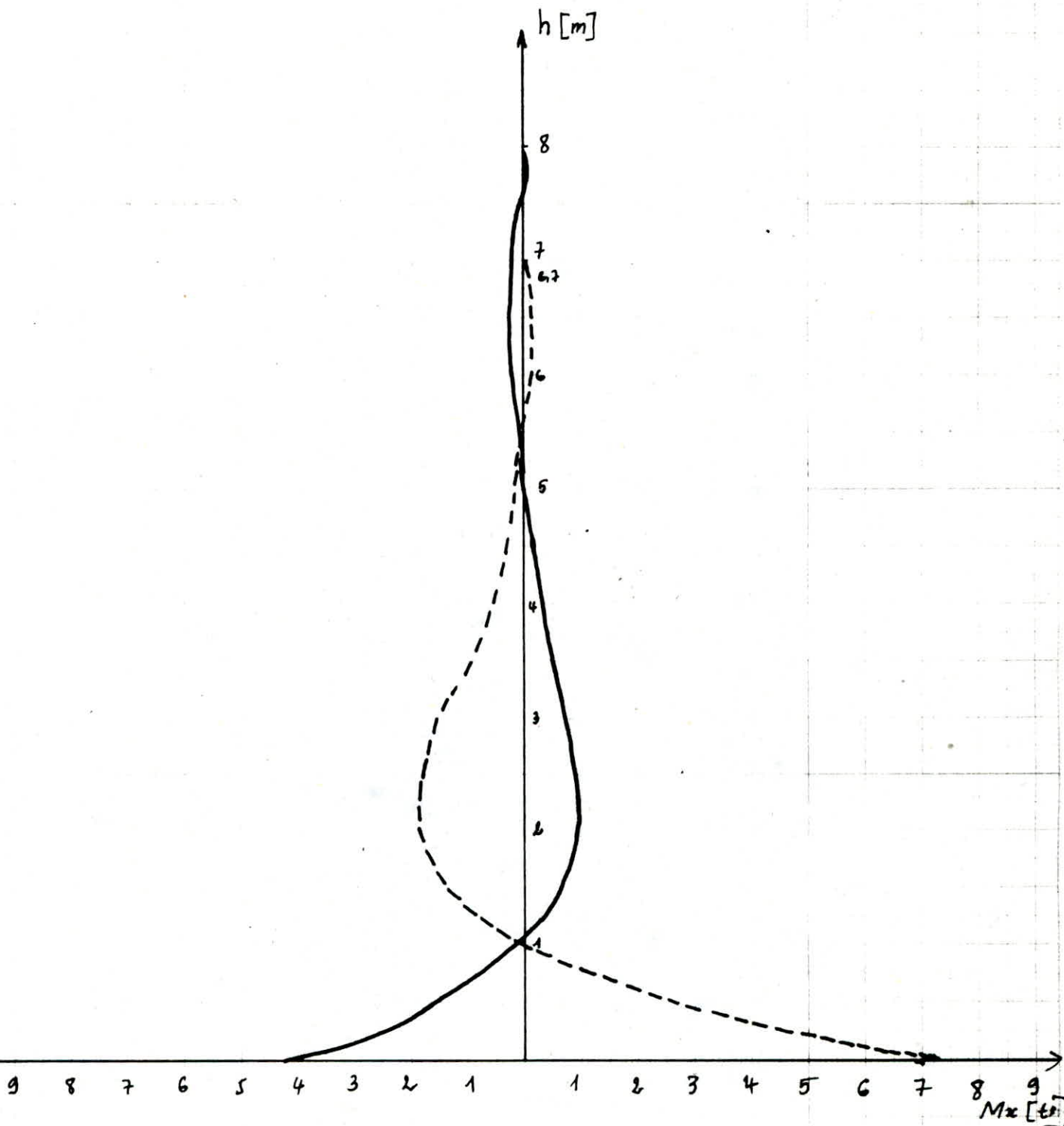
Diagramme des Moments.

• M_x dû à la poussée des eaux.

$$M_{x_e \text{ max}} = +7,05 \text{ t.m/mp.}$$

• M_{x_t} dû à la poussée des terres

$$M_{x_t \text{ max}} = -4,02 \text{ t.m/mp.}$$



Ferailage horizontale des viroles "Armatures en cercles"

- Pour chaque virole on calcule un ferailage approprié.
- Nous prenons les barres d'acier de diamètre 12 mm de haute adhérence soit donc: $\bar{\sigma}_a = 2060 \text{ kg/cm}^2$ et des barres de diamètre de 16 mm; $\bar{\sigma}_a = 1848 \text{ kg/cm}^2$.
- Comme l'effort radial N_q se développe sur mi-épaisseur de la paroi le nombre d'armature trouvé par le calcul sera divisé entre les côtés intérieur et extérieur de la paroi.
- Nous prenons la contrainte admissible de la traction du béton égale à 22 bars: " $\bar{\sigma}_{bm} = 22 \text{ bars}$ "
- Tous les résultats de calcul seront dressés sur le tableau récapitulatif suivant:

VIROLES	$h [m]$	$F_i = \frac{N\varphi_i + N\varphi_{i+1}}{2} [t]$	$A_i = \frac{F_i}{\bar{\sigma}_a} [\text{cm}^2]$	$A: \text{choisi}$ $= [\text{cm}^2]$	Espa- cement [cm]	$\tilde{F}_{bM,i} = \frac{F_i}{100e + 15 \cdot A_i} [\text{kg/cm}^2]$
1	$0 \leq h \leq 0,5$	$F_1 = \frac{0,00 + 8,22}{2} = 4,11$	$A_1 = \frac{4,110}{22,11} =$	$3T10 + 3T10 = 4,71$	3×16	$\frac{4,110}{100 \cdot 25 + 15 \cdot 4,71} = 1,60 < 22$
2	$0,5 \leq h \leq 1,0$	$F_2 = \frac{8,22 + 22,03}{2} = 15,13$	$A_2 = \frac{15,130}{20,60} = 7,34$	$5T12 + 5T12 = 11,31$	5×10	$\frac{15,130}{100 \cdot 25 + 15 \cdot 11,31} = 5,67 < 22$
3	$1,0 \leq h \leq 1,5$	$F_3 = \frac{22,03 + 39,85}{2} = 30,94$	$A_3 = \frac{30,940}{18,48} = 16,74$	$5T16 + 5T16 = 20,10$	5×10	$\frac{30,940}{100 \cdot 25 + 15 \cdot 20,10} = 11,04 < 22$
4	$1,5 \leq h \leq 2,0$	$F_4 = \frac{39,85 + 54,75}{2} = 47,10$	$A_4 = \frac{47,100}{18,48} = 25,60$	$7T16 + 7T16 = 28,15$	7×8	$\frac{47,100}{100 \cdot 25 + 15 \cdot 28,15} = 16,2 < 22$
5	$2,0 \leq h \leq 2,5$	$F_5 = \frac{54,75 + 62,03}{2} = 58,39$	$A_5 = \frac{58,390}{18,48} = 31,59$	$8T16 + 8T16 = 32,16$	8×6	$\frac{58,390}{100 \cdot 25 + 15 \cdot 32,16} = 19,60 < 22$
6	$2,5 \leq h \leq 3,0$	$F_6 = \frac{62,03 + 63,15}{2} = 62,98$	$A_6 = \frac{62,980}{18,48} = 34,04$	$9T16 + 9T16 = 36,15$	9×6	$\frac{62,980}{100 \cdot 25 + 15 \cdot 34,04} = 20,60 < 22$
7	$3,0 \leq h \leq 3,5$	$F_7 = \frac{63,15 + 61,00}{2} = 62,41$	$A_7 = \frac{62,410}{18,48} = 33,77$	$9T16 + 9T16 = 36,15$	9×6	$\frac{62,410}{100 \cdot 25 + 15 \cdot 34,04} = 20,51 < 22$
8	$3,5 \leq h \leq 4,0$	$F_8 = \frac{61,00 + 54,81}{2} = 57,91$	$A_8 = \frac{57,910}{18,48} = 31,34$	$8T16 + 8T16 = 32,16$	8×6	$\frac{57,910}{100 \cdot 25 + 15 \cdot 32,16} = 19,48 < 22$
9	$4,0 \leq h \leq 4,5$	$F_9 = \frac{54,81 + 46,39}{2} = 50,60$	$A_9 = \frac{50,600}{18,48} = 27,38$	$7T16 + 7T16 = 28,15$	7×8	$\frac{50,600}{100 \cdot 25 + 15 \cdot 28,15} = 17,32 < 22$
10	$4,5 \leq h \leq 5,0$	$F_{10} = \frac{46,39 + 36,47}{2} = 41,53$	$A_{10} = \frac{41,530}{18,48} = 22,47$	$6T16 + 6T16 = 24,12$	6×8	$\frac{41,530}{100 \cdot 25 + 15 \cdot 24,12} = 14,51 < 22$
11	$5,0 \leq h \leq 5,5$	$F_{11} = \frac{36,47 + 26,35}{2} = 31,51$	$A_{11} = \frac{31,510}{18,48} = 17,06$	$5T10 + 5T10 = 20,1$	5×10	$\frac{31,510}{100 \cdot 25 + 15 \cdot 20,1} = 11,28 < 22$
12	$5,5 \leq h \leq 6,0$	$F_{12} = \frac{26,35 + 15,89}{2} = 21,12$	$A_{12} = \frac{21,120}{18,48} = 11,43$	$3T16 + 3T16 = 12,06$	3×16	$\frac{21,120}{100 \cdot 25 + 15 \cdot 12,06} = 7,188 < 22$
13	$6,0 \leq h \leq 6,5$	$F_{13} = \frac{15,89 + 5,84}{2} = 10,72$	$A_{13} = \frac{10,720}{20,60} = 5,20$	$3T12 + 3T12 = 6,78$	3×16	$\frac{10,720}{100 \cdot 25 + 15 \cdot 6,78} = 4,12 < 22$
14	$6,5 \leq h \leq 6,7$	$F_{14} = \frac{5,84 + 0,00}{2} = 2,72$	$A_{14} = \frac{2,7200}{22,11} = 1,25$	$2T10 + 2T10 = 3,14$	2×25	$\frac{2,7200}{100 \cdot 25 + 15 \cdot 3,14} = 1,09 < 22$

Vérification des contraintes de compression dans les voiles:

Comme la paroi est sollicité par un effort de compression sous l'effet de la poussée totale due au cailloutage (poussée des terres) on vérifie si le béton suffit pour reprendre ces efforts:

E V	x [m]	$F'_i = N\varphi_i + N\varphi_{i+1}$ [kg]	$\sigma'_b = \frac{F'_i}{100 \cdot e}$ [kg/cm²]
1	0,00	$\frac{0,00 + 0,00}{2} = 0,00$	$\frac{0,00}{2500} = 0$
2	0,50	$\frac{0,00 + 4650}{2} = 2325$	$\frac{2325}{2500} = 0,93$
3	1,00	$\frac{4650 + 14250}{2} = 9445$	$\frac{9445}{2500} = 3,78$
4	1,50	$\frac{14250 + 24220}{2} = 19230$	$\frac{19230}{2500} = 7,69$
5	2,00	$\frac{24220 + 32190}{2} = 28205$	$\frac{28205}{2500} = 11,28$
6	2,50	$\frac{32190 + 35190}{2} = 33690$	$\frac{33690}{2500} = 13,48$
7	3,00	$\frac{35190 + 38750}{2} = 36970$	$\frac{36970}{2500} = 14,79$
8	3,50	$\frac{38750 + 36370}{2} = 37560$	$\frac{37560}{2500} = 15,02$
9	4,00	$\frac{36370 + 32720}{2} = 34545$	$\frac{34545}{2500} = 13,82$
10	4,50	$\frac{32720 + 28320}{2} = 30520$	$\frac{30520}{2500} = 12,12$
11	5,00	$\frac{28320 + 23550}{2} = 25935$	$\frac{25935}{2500} = 10,37$
12	5,50	$\frac{23550 + 18670}{2} = 21110$	$\frac{21110}{2500} = 8,44$
13	6,00	$\frac{18670 + 13840}{2} = 16255$	$\frac{16255}{2500} = 6,50$
14	6,50	$\frac{13840 + 9120}{2} = 11480$	$\frac{11480}{2500} = 4,59$
15	7,00	$\frac{9120 + 4550}{2} = 6835$	$\frac{6835}{2500} = 2,73$
16	7,50	$\frac{4550 + 0,00}{2} = 2275$	$\frac{2275}{2500} = 0,91$
17	8,00	$\frac{0,00 + 0,00}{2} = 0,00$	$\frac{0,00}{2500} = 0,00$

Ferrailage vertical:

Mouvements maximaux:

M_{ts}^s max	Pousée de l'eau	Pousée des fuites
M. Positif	+ 7,05	+ 1,02
M. Négatif	- 1,89	- 4,02.

2^e effort normal max:

$$N' = W_r + \frac{P_c}{w}$$

W_r : poids de la coupole et celui de la ceinture.

W_w : poids des parois (B.A + enduit)

P_c : Périmètre

$$\Rightarrow N' = \frac{374,09 + 585,1}{2\pi \cdot 15,75} = 9,69 t / ml. (+) \\ * N' = 9,7 t / m_p.$$

Une section élémentaire de la paroi sera donc sollicitée par

$$M_{ts}^s = M_{ts}^{max} = + 7,05 t.m / m_e$$

$$N' = N'^{max} = 9,7 t / m_p$$

Nous calculons le ferrailage de cette section sous l'effet de la flexion composée, en appliquant la méthode de "Pierre Charron"

on a : $M = 7,05 t.m$

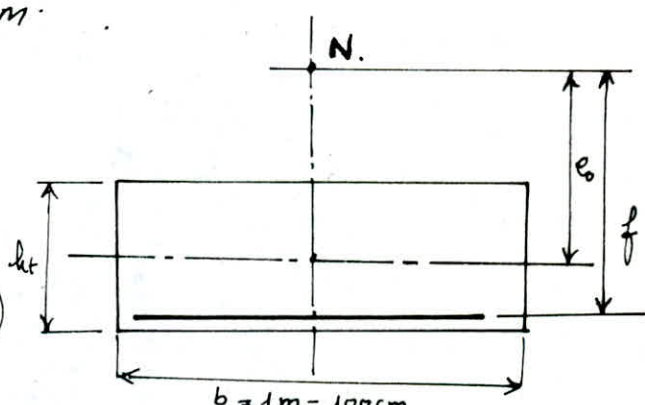
$$N = 9,7 t$$

• e_0 = excentricité

• f = flèche

• $ht = 25 \text{ cm}$ (Epaisseur de la paroi)

• $b = 1m = 100 \text{ cm}$.



N.B: on considérera que la section ne présente pas de courbure.

Calcul du ferrailage :

$$1. e_0 = \frac{M}{N} = \frac{7105}{9,7} = 0,727 \text{ m} \approx 73 \text{ cm}$$

$$2. l = \frac{lt}{6} = \frac{25}{6} = 4,17 \approx 4,2 \text{ cm}$$

$\Rightarrow e_0 > l \Rightarrow$ La section est partiellement comprimée

3. calcul de $\bar{\sigma}_b'$:

$$\text{comme } e_0 > l = \frac{lt}{6} \text{ on aura: } \bar{\sigma}_b' = 2 \bar{\sigma}_{b_0} = 2 \cdot 75 = 150 \text{ kg/cm}^2$$

4. calcul de la flèche:

$$f = e_0 + \frac{lt}{2} - d = 73 + 12,5 - 4 = 81,5 \text{ cm}$$

5. Calculons la section comme si elle était soumise à la flexion simple avec un moment fictif: $M_{bf} = N \cdot f$.

$$M_{bf} = N \cdot f = 9,7 \cdot 0,815 = 7,906 = 7,91 \text{ t.m.}$$

6. Nous utiliserons les aciers haute adhérence de $\phi 20$ donc

$$\bar{\sigma}_a = 1704 \text{ kgf/cm}^2$$

7. Calcul de la section d'acier:

$$\bar{x} = \frac{n \bar{\sigma}_b'}{n \bar{\sigma}_b' + \bar{\sigma}_a} = \frac{15 \cdot 150}{15 \cdot 150 + 1704} = 0,57 \Rightarrow \bar{Y} = 1 - \frac{\bar{x}}{3} = 0,81$$

8. Moment résistant du béton :

$$M_{rb} = \frac{1}{2} \cdot \bar{\sigma}_b' \cdot \bar{x} \cdot \bar{Y} \cdot b \cdot h^2 = 0,5 \cdot 0,57 \cdot 0,81 \cdot 100 \cdot 21^2 = 15,27 \text{ t.m.}$$

$$\Rightarrow M_{rb} = 15,27 \text{ t.m.}$$

9. Le moment résistant du béton est supérieur que le moment extérieur sollicitant la section, donc: Le béton a lui seul suffit $\Rightarrow A' = 0$.

10. calcul des aciers (As : Acier - flexion simple):

$$A_s = \frac{M_f}{\bar{Y} \cdot h \cdot \bar{\sigma}_a} = \frac{7,91 \cdot 105}{0,81 \cdot 21 \cdot 1704} = 27,30 \text{ cm}^2$$

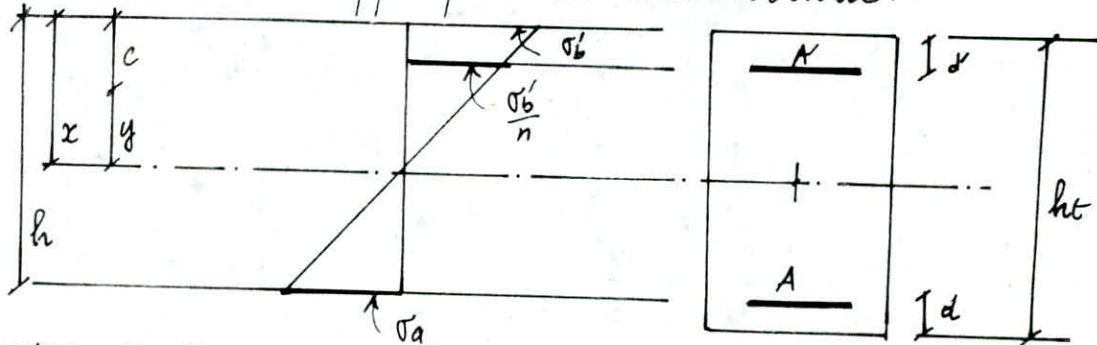
$$A_{fc} = A_s - \frac{N}{\bar{\sigma}_a} = 27,30 - \frac{9,7 \cdot 10^3}{1704} = \underline{\underline{21,60 \text{ cm}^2}}$$

- ferrailage et choix des aciers:

$h [m]$	$M [t.m]$	$N' [t]$	$\ell_0 [cm]$	$f [cm]$	$CK [t.m]$	$M_{cb} [t.m]$	$A [cm^2]$	$A' [cm^2]$	$A'' [cm^2]$
0,00	7,05	9,70	73	81,5	7,91	15,27	21,60	$8HA20 = 25,13$	0
0,00	-4,08	9,70	41,44	49,94	4,84	14,92	15,21	$8HA16 = 16,08$	0
2,00	+1,02	8,45	12,07	10,55	1,74	13,81	4,51	$8HA10 = 6,28$	0
2,00	-1,89	8,45	22,36	29,86	2,12	13,81	5,49	$8HA10 = 6,28$	0

Vérification des contraintes:

La méthode usuelle appliquée sur béton donne:



$$\text{on pose: } y = x - c \Rightarrow \frac{r_a}{n} = x - y + c$$

L'équation du moment statique nous donne:

$$y^3 + \left\{ -3c^2 - \frac{6n}{b} [A'(c-d') - A(h-c)] \right\} y + \left\{ -2c^3 - \frac{6n}{b} [A'(c-d') + A(h-c)] \right\} = 0$$

qui correspond à une équation du 3^e degré de la forme:

$$y^3 + py + q = 0 \quad \text{Avec:}$$

$$p = -3c^2 - \frac{6nA'}{b}(c-d') + \frac{6nA}{b}(h-c).$$

$$q = -2c^3 - \frac{6nA'}{b}(c-d')^2 - \frac{6nA}{b}(h-c)^2.$$

dont la solution est:

$$y = \left\{ -\frac{q}{2} + \left[\left(\frac{q}{2} \right)^2 + \left(\frac{p}{3} \right)^3 \right]^{\frac{1}{2}} \right\}^{\frac{1}{3}} + \left\{ -\frac{q}{2} - \left[\left(\frac{q}{2} \right)^2 + \left(\frac{p}{3} \right)^3 \right]^{\frac{1}{2}} \right\}^{\frac{1}{3}}.$$

Le moment d'inertie sera:

$$I = \frac{bx^3}{3} + nA'(x-d')^2 + nA(h-x)^2$$

Les contraintes seront donc:

$$\sigma_b = Kx, \quad \sigma_a = nk(x-d') \quad \text{et} \quad \sigma_a = nk(h-x) \quad \text{avec} \quad K = \frac{y \cdot N'}{I}$$

Application:

$$P = -9536,00\text{t}$$

$$q = 337424,00$$

$$\Rightarrow y^3 - 9536,00t y + 337424,00 = 0$$

$$\Rightarrow y = 45,585 \text{ cm}$$

$$\Rightarrow x = 14,915 \text{ cm}$$

$$I = 5166,955 \text{ cm}^4$$

$$K = 8,55$$

$$\cdot \bar{\sigma}_b' = K \cdot x = 127,52 < \bar{\sigma}_b'$$

$$\cdot \bar{\sigma}_a = nK(h-x) = 309,72 < \bar{\sigma}_a.$$

N.B:

Le RPA (Art 4.3.3.3) admet comme pourcentage minimum des armatures verticales sur toute la zone: 0,5% on prendra donc: 8HA12/_{ml} au lieu de 8HA10 /ml.

Vérification de l'effort tranchant:

on a: $T_{\max} = 10,74 \text{ t}$

$$\bar{\sigma}_b = \frac{T}{b_0 \cdot z} \text{ avec: } z = \frac{7}{8} h = \frac{7}{8} \cdot 2 = 18,375 \text{ cm.}$$
$$b_0 = 100 \text{ cm}$$

$$\Rightarrow \bar{\sigma}_b = \frac{10,74 \cdot 10^3}{100 \cdot 18,375} = 5,84 \text{ Kg/cm}^2$$

$$\bar{\sigma}_b = 215 \cdot \bar{\sigma}_b = 215 \cdot 6,25 = 15,625 \text{ Kg/cm}^2$$

⇒ on a bien que: $\bar{\sigma}_b = 5,84 \text{ Kg/cm}^2 < \bar{\sigma}_b = 15,625 \text{ Kg/cm}^2$

* l'effort tranchant sera repris par les armatures horizontales en arcs et par les armatures en épingle de maintien.

ETUDE
HYDRODYNAMIQUE

ÉTUDE-HYDRAULIQUE

I. Généralités:

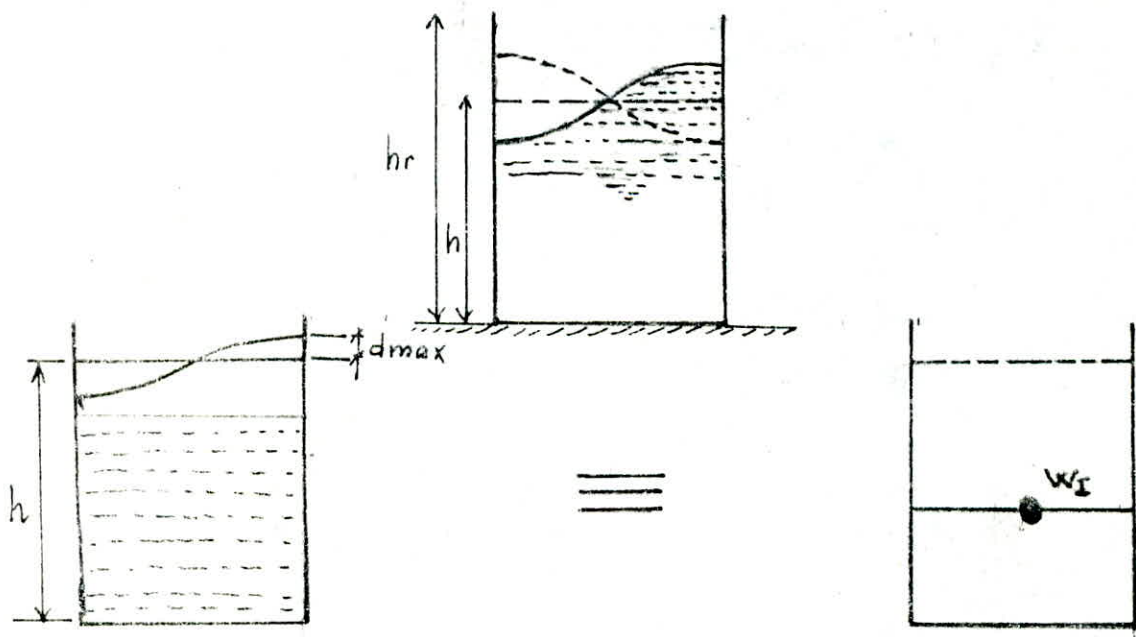
Lorsqu'un réservoir, couvert est entièrement plein, il n'y a pas de mouvement relatif du fluide par rapport au réservoir à la suite d'une excitation. Du point de vue dynamique, tout se passe comme si l'ensemble fluide-réservoir, constituait une masse unique. Par contre, dans les réservoirs partiellement remplis (2) l'excitation met une partie du fluide en mouvement, ce qui conduit à la formation des vagues en surface. Le phénomène de l'effet hydro-dynamique où l'oscillation du liquide doit être considéré dans le but de réduire la masse effective et de déterminer le centre d'éffectif du liquide.

Les méthodes de calcul se basent sur des hypothèses différentes selon la dépendance de la surpression (d'oscillation, d'impulsion,..) dynamique par rapport au temps. Ainsi pour Jacobsen et AYRE, le champ de vitesse dans le réservoir est directement proportionnel à la vitesse du sol. De plus en négligeant l'influence du temps sur la surpression, ils ne considèrent que la surpression d'impulsion avant qu'il ne commence les oscillations du liquide. Cette méthode ne nous intéresse pas car elle ne prend pas en compte l'effet d'oscillation du liquide. La méthode de calcul de Hunt et Priestley, en tenant compte à la fois des phénomènes d'impulsion et d'oscillation, conduit à relation entre le

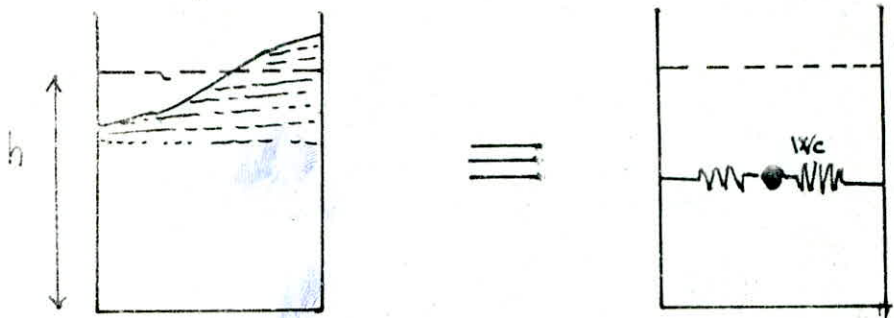
... de vitesse fonction du temps et l'accélération du sol.

Ce calcul qui a l'avantage d'être plus général introduit néanmoins dans les résultats une incertitude supplémentaire: l'accélération du sol $a(t)$. Ainsi, dans la comparaison faite avec les résultats donnés par les autres auteurs, il va falloir affecter d'une forme particulière l'accélération du réservoir. Cette méthode fait apparaître bien entendu des pressions d'oscillations tenant compte de l'ensemble des modes de vibration du fluide. Houghner sépare les deux phénomènes: Impulsion et oscillation. L'action du liquide est décomposée en deux actions:

- action passive provoquant des efforts d'impulsion.
- action active provoquant des efforts d'oscillation.

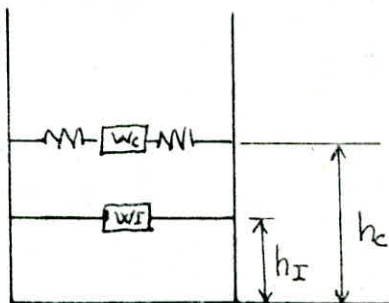


Équivalent mécanique des pressions
d'impulsion



équivalent mécanique des pressions d'oscillation
action sur les parois et sur la base.

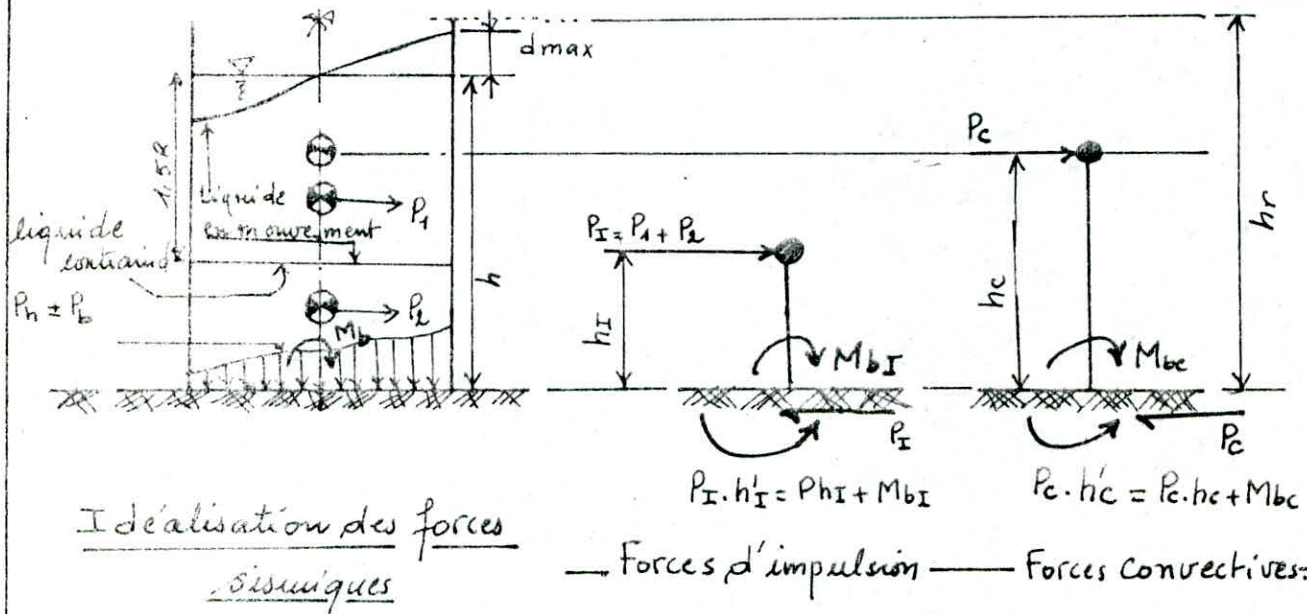
Ainsi le modèle qu'on retiendra pour l'ensemble des deux types d'actions sera celui de la figure ci-dessous:



L'effet hydrodynamique:

Durant un tremblement de terre, il y a une redistribution complexe de pressions dans le réservoir. Le procédé d'étude pour la considération des effets hydrodynamiques est basée sur une simplification de la méthode décrite et modifiée dans les différentes publications techniques.

La distribution de la force effective est illustrée dans la figure:



* Pression verticale sur le fond du réservoir, P_h est la pression hydrostatique uniforme.

P_b : est la pression hydrostatique variable.

- Le couple vertical dû à P_b , résulte dans le moment M_b au fond du réservoir.

- Le liquide est divisé en deux parties, une partie passive (impulsion) et l'autre en mouvement (oscillation).

Une partie du liquide en mouvement est combinée avec une autre partie du liquide, contenu pour former une masse effective de la force impulsrice : P_I ($P_I = P_1 + P_2$). La reste reste de la partie du liquide en mouvement forme la masse pour la force corrective P_c . P_I et P_c sont les forces résultantes des pressions horizontales sur les parois du réservoir.

P_I : représente la force de la masse effective du liquide qui se déplace rigidement avec le réservoir.

M_b : représente le couple agissant dans le fond du réservoir dû

... au déséquilibre de la pression verticale.

Les moments fléchissant et de renversement sont déterminés par multiplication de P_r et P_c par les hauteurs effectives respectivement h_r et h_c . En règle d'introduire les effets de M_b au-dessous de la base du réservoir, les hauteurs effectives modifiées h'_r et h'_c sont données.

A) Forces du corps rigide:

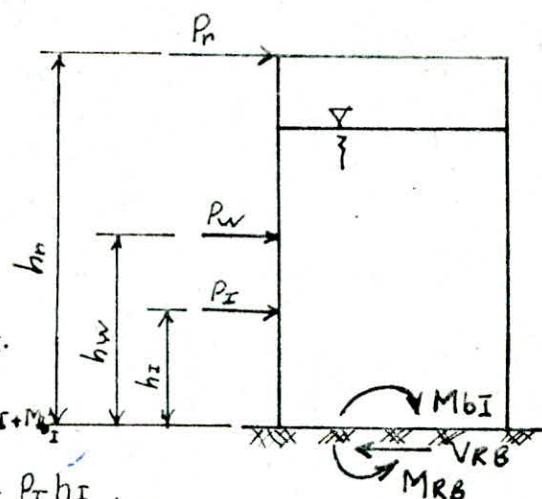
$$- P_r = A \cdot B \cdot D \cdot Q \cdot w_r$$

$$- P_w = A \cdot B \cdot D \cdot Q \cdot w_w$$

$$- V_{RB} = P_r + P_w + P_t$$

$$- M_{RB} (\text{fléchissant}) = P_r \cdot h_r + P_w \cdot h_w + P_t \cdot h_t$$

$$\begin{aligned} - M_{RB} (\text{renversement}) &= P_r \cdot h_r + P_w \cdot h_w + P_t \cdot h_t + M_b \\ &= P_r \cdot h'_r + P_w \cdot h'_w + P_t \cdot h'_t \end{aligned}$$



ou: $w_r = \text{poids de la toiture}$

$w_w = \text{poids des parois}$

$w_t = \text{poids du liquide impulsif.}$

$h_r = \text{hauteur de la toiture}$

$h_w = \text{centre de masse de la paroi du réservoir}$

$h_t = \text{hauteur effective du liquide impulsif}$

$h'_t = \text{fonction de } \frac{h_t}{h_c}$

Les forces du corps rigide (RB) figurent ci-dessus.

Le terme corps rigide est utilisé pour dénoter le liquide impulsif mouvant rigidement avec le réservoir.

Actuellement le réservoir à une flexibilité dépendant de la grandeur et de la grosseur.

- La force horizontale du corps rigide, V_{RB} sera déterminée par la formule suivante:

$$V_{RB} = ABDQ (W_r/r + W_w/w + W_I/I)$$

- Le moment à la base du réservoir est déterminé par :

$$M_{RB} = ABDQ (W_r \cdot h_r + W_w \cdot h_w + W_I \cdot h_I)$$

(B) - force du liquide oscillant, (SL):

- $P_c = ABDQ W_c$

- $V_{SL} = P_c$

- M_{SL} (flexuant) = $P_c \cdot h_c$

- M_{SL} (renversement) = $P_c h_c + M_{bc} = P_c h_c'$.

- $\frac{h_c'}{h} = f(\alpha = \frac{h}{R})$; figure 27

a). Les forces du liquide en mouvement V_{SL} sont égales à la force convective P_c , elle sera déterminée par la formule

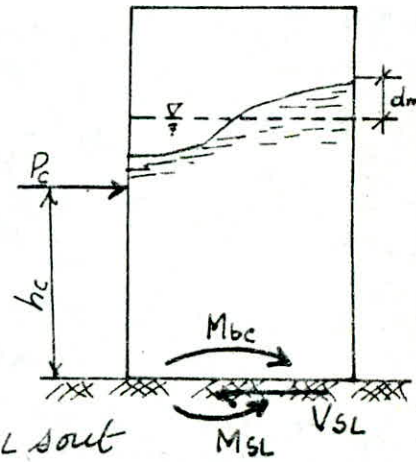
$$V_{SL} = ABDQ W_c ; \quad \frac{W_c}{W} = f(\alpha = \frac{h}{R}) \text{ figure 26}$$

- La période d'oscillation du liquide est déterminée par la formule suivante: $T = K_T \cdot \sqrt{h}$ où: $K_T = \frac{1.11}{\sqrt{\alpha \cdot K_d}}$; figure 28.

Le moment à la base du réservoir est déterminé par:

$$M_{SL} = ABDQ W_c h_c$$

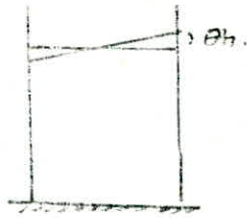
Remarque: les figures 26, 27, 28 sont données dans la publication 84 de l'OPU - Conception et calcul des structures soumises aux séismes.



b). La hauteur maximale des mouvements des vagues est donnée par la formule :

$$d_{\max} = \frac{Q}{\frac{g}{\tilde{\omega}^2 \theta_h R}} - 1$$

avec : $- Q = \frac{0,629 R}{\frac{R \theta_h}{A_1}}$



$$- \theta_h = 1,534 \frac{A_1}{R} \operatorname{th}\left(1,84 \frac{h}{R}\right)$$

$$- \tilde{\omega}^2 = \frac{1,84}{R} g \operatorname{th}\left(1,84 \frac{h}{R}\right)$$

- la valeur de $\frac{R \theta_h}{A_1}$ est tirée du graphique 6.15 du :

nuclear reactors and earthquakes, ou tout comme elle peut être calculée directement puisque :

$$\frac{R \theta_h}{A_1} = 1,534 \operatorname{th}\left(1,84 \frac{h}{R}\right)$$

c). Combinaison des forces du corps rigide et des forces du liquide en mouvement.

$$V_{\text{total}} = \sqrt{V_{RB}^2 + V_{SL}^2}$$

$$M_{\text{total}} = \sqrt{M_{RB}^2 + M_{SL}^2}$$

Ceux-ci est en accord avec la procédure de l'analyse modale sur le spectre des réponses des modes prédominant qui sont combinés par une telle manière.

II- Application:

- $\alpha = \frac{h}{R} = \frac{6,7}{15,5} = 0,43 < 1,5 \Rightarrow$ Réservoir à faible hauteur, coefficient d'accélération des zones : A.
- C'est une fraction de q.
- Groupes d'usage I, Zone II } $\Rightarrow A = 0,25$.

- facteur de comportement de la structure: 8

$$\text{Catégorie 8} \Rightarrow B = \frac{1}{2}.$$

- facteur de qualité: φ

$$\varphi = 1 + \sum_{q=1}^6 p_q$$

- contrôle de la qualité des matériaux (critère non observé) $\Rightarrow 0,1$

- Contrôle de la qualité de la construction (critère non observé) $\Rightarrow 0,1$

$$\Rightarrow \varphi = 1 + 0 + 0 + 0 + 0,1 + 0,1 = 1,2.$$

- facteur d'amplification D:

la valeur de ce coefficient diffère selon le cas des forces du corps rigide ou des forces du liquide en mouvement.

A - forces du corps rigide:

$$P_r = ABD\varphi W_r$$

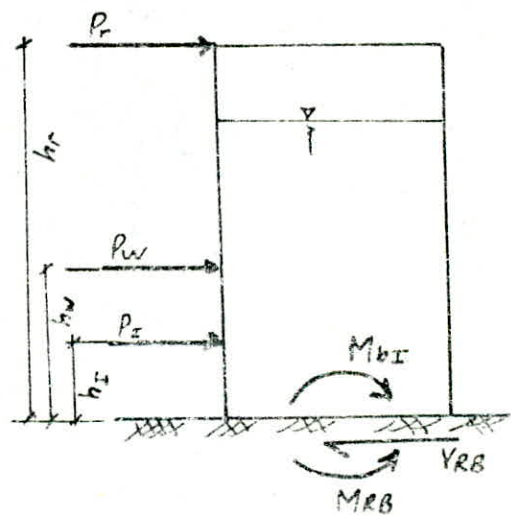
$$P_w = ABD\varphi W_w$$

$$P_I = ABD\varphi W_I$$

$$V_{RB} = P_r + P_w + P_I$$

$$M_{RB} (\text{fléchissant}) = P_r \cdot h_r + P_w \cdot h_w + P_I \cdot h_I.$$

$$M_{RB} (\text{renversement}) = P_r \cdot h_r + P_w \cdot h_w + P_I \cdot h_I$$



D: coefficient d'amplification dynamique:

Dans ce cas le réservoir vide et le liquide contenant subissent la même accélération que celle du sol (Hypothèse d'Houzner) de ce fait on prendra la valeur maximale de D qui est égale à vingt (2), valeur donnée par le RPA pour un amortissement de 10% et pour un sol meuble.

Calcul :

W_r : Comprend le poids de la coupole et celui de la cenitue.

- dalle : $Q_0 = 2,5 (\pi \cdot 1^2 \cdot 0,06) = 0,47 t$

- coupole : charge - $Q_1 = P.S = 0,24 \cdot 806 = 193,44 t$

- surcharge - $S_1 = 0,1 \cdot 755 = 75,7 t$

$$Q_I = 269,41 t$$

- Axotère

$$Q_2 = 2,5 (2\pi \cdot 15,945 \cdot 0,45 \cdot 0,15)$$

$$= 16,94 t$$

$$Q_3 = 2,5 (2\pi \cdot 15,625 \cdot 0,65 \cdot 0,15) =$$

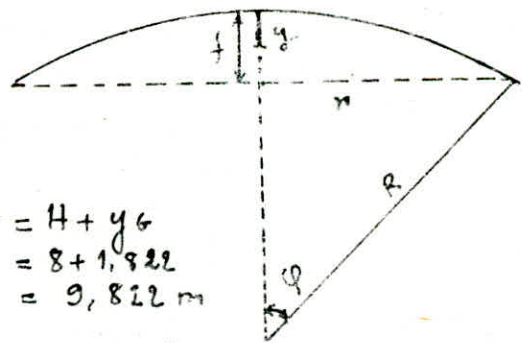
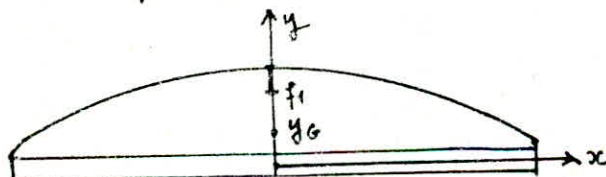
$$Q_{II} = 104,68 t$$

$$W_r = Q_I + Q_{II} = 374,09 t$$

Détermination du barycentre de la cenitue plus coupole :

$$f_1 = R \left(1 - \frac{\sin \varphi}{\varphi} \right) \text{ avec } \varphi = \operatorname{Artg} \frac{r}{R} = 22^\circ 56' 8,42'' \\ = 0,4 \text{ rad}$$

$$f_1 = 0,97.$$



- $y_G = \frac{(f-f_1) \cdot Q_I}{W_r} = 1,822 \Rightarrow h_r = f + y_G = 8 + 1,822 = 9,822 m$

- $W_r = 374,09 t ; h_r = 9,822 m = 9,822 m$

- W_w : poids des parois (BA + enduit)

$$W_w = 2,5 (2\pi \cdot 15,625 \cdot 0,25 \cdot 8) + 2 (2\pi \cdot 15,625 \cdot 0,06 \cdot 8)$$

$$W_w = 585,1 t.$$

- W_I = poids du liquide non pulsif.

W = poids de l'eau.

$$W = 1,2 \cdot 6,70 \cdot \pi \cdot \overline{15,5}^2 = 6068,4t$$

$$\frac{W_I}{W} = f\left(\alpha = \frac{h}{R} = 0,43\right) = 0,27 - \text{figur 26} \Rightarrow W_I = 0,27W$$

$$\Rightarrow \underline{W_I = 1638,5t}$$

Forces:

- $P_r = ABDQ \cdot W_r = 0,25 \cdot \frac{1}{2} \cdot 1,2 \cdot 374,09 = 112,227t$
- $P_w = ABDQ \cdot W_w = 0,25 \cdot \frac{1}{2} \cdot 4,2 \cdot 585,1 = 175,53t$
- $P_I = ABDQ \cdot W_I = 0,25 \cdot \frac{1}{2} \cdot 1,2 \cdot 1638,5 = 491,55t$.

La force horizontale du corps rigide V_{RB} est:

$$V_{RB} = P_r + P_w + P_I = 112,227 + 175,53 + 491,55 = 779,307t$$

$$\underline{V_{RB} = 779,307t.}$$

de moments:

on a : $\overline{hw} = \frac{4}{2} = \frac{8}{2} = 4m.$

$$hr = 9,822m.$$

$$\frac{h_I}{h} = f\left(\alpha = \frac{h}{R} = 0,43\right) = 0,38 \Rightarrow h_I = 2,546m$$

$$\frac{h'}{h} = f\left(\alpha = \frac{h}{R} = 0,43\right) = 1,6 \Rightarrow h' = 2,56$$

Moment fléchissant M_{RB} (TANK SHELL)

$$M_{RB} = P_r hr + P_w \overline{hw} + P_I h_I = 112,227 \cdot 9,822 + 175,53 \cdot 4 + 491,55 \cdot 2,546$$

$$\underline{M_{RB} = 3055,9 t.m.}$$

Moment de renversement (au dessous de la base) M_{RB}

$$(belw base), M_{RB} = P_r hr + P_w \overline{hw} + P_I h_I + M_{bI}$$

$$= P_r hr + P_w \overline{hw} + P_I h'$$

$$= 112,227 \cdot 9,822 + 175,53 \cdot 4 + 491,55 \cdot 2,56$$

$$\Rightarrow \underline{M_{RB} = 3062,8 t.m.}$$

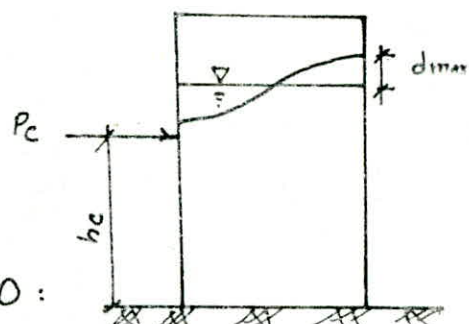
B - forces du liquide en oscillation (SL) :

$$P_c = ABDQ \cdot W_c$$

$$V_{SL} = P_c$$

$$M_{SL} (\text{flechissant}) = P_c h_c$$

$$M_{SL} (\text{renversement}) = P_c h_c + M_{SC} = P_c h_c$$



Coefficient d'amplification dynamique α :

Vu qu'il n'y a pas de commentaire dans le RPA concernant la valeur de D pour des faibles amortissement, le coefficient d'amplification dynamique sera déterminé en pondérant la valeur obtenue à partir du graphie d'amortissement de 10% pour une période d'oscillation $T = K_f \sqrt{h}$ du liquide par un coefficient déterminé par la formule par la formule de régression de N.M Newmark, W.J.Hall.

Formule de régression : $S_a(\beta) = (4,38 - 1,04 \ln \beta) A$
pour deux valeurs différentes de β : (β_1, β_2) \Rightarrow

$$S_a(\beta_1) = \frac{4,38 - 1,04 \ln(\beta_1)}{4,38 - 1,04 \ln(\beta_2)} \cdot S_a(\beta_2)$$

Référence : N.M Newmark, W.J. Hall.

Earthquake Spectra and Design. EERI 1982.

$$T = K_f \cdot \sqrt{h} \quad \text{avec} \quad K_f = \frac{1,11}{\sqrt{\alpha \cdot K_a}} = 1,4$$

$$T = 1,4 \cdot \sqrt{6,70} = 3,624 s \cdot \sqrt{\alpha \cdot K_a}$$

$$T = 3,624 s$$

$$\beta = 10 \% \quad \Rightarrow \quad D = 1$$

Sol meuble

on prend $\beta_2 = 0,5\%$ pour le liquide.

$$\Rightarrow S_a(0,5\%) = \frac{4,38 - 1,04 \ln(0,5\%)}{4,38 - 1,04 \ln(10\%)} S_a(10\%) = 1,45 S_a(10\%)$$

$$\Rightarrow \left. \begin{array}{l} T = 3,6248 \\ \beta = 0,5\% \\ \text{sol moulé} \end{array} \right\} \Rightarrow S_a(T, \beta_1 = 0,5\%) = 1,45 S_a(T, \beta_2 = 10\%)$$

avec:

$$S_a(T, \beta = 0,5\%) = 0,25 \cdot 1 \cdot 1,45 = 0,8625$$

forces: $P_c = ABDQ \cdot W_c$

$$\frac{W_c}{W} = 0,7 = f(\alpha = \frac{h}{R} = 0,45) \Rightarrow W_c = 0,7 \cdot 6068,4 \\ \Rightarrow W_c = 4247,88 \text{ t.}$$

$$P_c = 0,3625 \cdot 1,2 \cdot \frac{1}{2} \cdot 4247,88 = 923,914 \text{ t.}$$

- l'effort à la base V_{SL} : $V_{SL} = P_c = 923,914 \text{ t.}$

- Moment fléchissant:

$$M_{\text{total}} (\text{for tank shell}) = \sqrt{3055,9^2 + 3095,11^2} = 4340,511 \text{ t.m}$$

- Moment de renversement:

$$M_{\text{total}} (\text{for below base}) = \sqrt{3052,8^2 + 9904,36^2} = 10367,116 \text{ t.m}$$

- La hauteur maximale du mouvement des vagues est déterminée par la formule:

$$d_{\max} = \frac{\varphi}{\frac{g}{\tilde{\omega}^2 \Theta_h R} - 1}, \text{ avec: } \varphi = \frac{0,629 R}{R \Theta_h} \text{ et}$$

$$\tilde{\omega}^2 = \frac{1,2 g}{R} \cdot \frac{R \Theta_h}{A_1}$$

on a $\frac{R}{h} = 2,31 \Rightarrow \frac{R \Theta_h}{A_1} = 1,1$ fig. 6.15 du nuclear reactors and Earthquakes TID-7024. tout comme elle peut être tirée directement puisque $\frac{R \Theta_h}{A_1} = 1,584 \text{ ft} \cdot (1,84 \frac{h}{R})$.

\Rightarrow

$$\Phi = \frac{0,620 \cdot 15,5}{\omega^2} = 8,8632$$

La période T d'oscillation du liquide est fixée par

$$T = k_T \sqrt{h} = 3,624 \text{ s}$$

$$\omega = \frac{2\pi}{T} = 1,7337.$$

$$y_{\max} = A_1 = \frac{Sa(T, 0,5\%)}{\omega^2} = \frac{1,45 \cdot 0,25 \cdot 1 \cdot 9,81}{(1,7337)^2} = 1,183$$

A_1 est le déplacement du centre de gravité de la masse d'eau oscillante par rapport au centre de gravité de la masse d'eau qui est fixée avec le réservoir vide.

$$\theta_h = 1,534 \cdot \frac{A_1}{R} \cdot f_h(1,84 \cdot \frac{h}{R}) = 1,534 \cdot \frac{1,183}{15,5} \cdot f_h(1,84 \cdot \frac{6,70}{15,5})$$

\Rightarrow

$$\theta_h = 0,0773.$$

$$\tilde{\omega}^2 = \frac{1,2g}{R} \cdot \frac{R\theta_h}{A_1} = \frac{1,2 \cdot 9,81}{15,5} \cdot 1,1 = 0,835$$

Par conséquent:

$$d_{\max} = \frac{\Phi}{\tilde{\omega}^2 \theta_h R} = \frac{8,8632}{0,835 \cdot 0,0773 \cdot 15,5} = 1,0065 \text{ m}$$

$$\Rightarrow d_{\max} = 1,0065 \text{ m.} \approx 1,00 \text{ m.}$$

on laisse au dessus du niveau d'eau une marge de paroi de 1,30 m de largeur.

C'est à dire : $d_{\max} = 1,0065 < 1,30 \text{ m.}$

Vérification de la paroi à l'enca斯特rement.

a) vérification au cisaillement:

La vérification de la section d'encaissement: paroi-radien est donnée selon l'article 4.3.2.2 du RPA 81 Version 83 par:

$$G_b = \frac{\bar{T}}{S} < \bar{G}_b \quad \text{avec:}$$

$$\bar{T} = 1,4 T_{\text{calculé}}$$

$$S = M_{\text{statique}}^{\frac{1}{2}} = \frac{\pi}{4} (D^2 - d^2) \quad \text{ou:}$$

D = diamètre extérieur du réservoir

d = diamètre intérieur au niveau du gousset.

$$\bar{G}_b = 0,12. 5'18 \quad (\sigma_{18} = 300 \text{ bars}).$$

Application:

$$T_{\text{calculé}} = 1208,7 t$$

$$S = 53,48 \text{ m}^2$$

$$\bar{G}_b = 0,12. 300 = 36 \text{ bars}$$

$$\Rightarrow G_b = \frac{1,4 \cdot 1208,7}{53,48} = 31,64 \frac{t}{m^2} = 3,160 \text{ kPa}$$

b) Vérification à la flexion:

Nous considérons un anneau circulaire situé au niveau du radien soumis à un effort normal N' et un moment M.

N' = poids propre de la paroi + coupole + surcharge.

M = Moment de flexion dû au séisme.

Le calcul de cette section en flexion composée nous conduit à calculer les contraintes σ_1 et σ_2 produites dans...

... la paroi. Ces contraintes seront comparées aux contraintes admissibles.

-soit: $S = \pi (R_1^2 - R_2^2)$

$$J = \frac{\pi}{64} (D^4 - d^4)$$

$$W = \frac{J}{R}$$

$$\sigma_{1,2} = \frac{N'}{S} \pm \frac{M}{W}$$

Application:

$$N' = 1298,471 t$$

$$M = 4349,511 t.m.$$

$$S = 98,175 m^2$$

$$J = 29961248 m^4$$

$$W = 190,238 m^3$$

$$\Rightarrow \sigma_1 = 3,609 \text{ kg/cm}^2$$

$$\sigma_2 = 1,0 \text{ kg/cm}^2$$

$$< \bar{\sigma}_b'$$

\Rightarrow Les armatures et la section du béton classées sont largement suffisantes pour reprendre les efforts des deux types de sollicitations.

FONDATIONS

ETUDE DU RADIER

Generalités :

Le radier d'un réservoir cylindrique est structurellement une plaque circulaire mince. L'étude de ce radier et de ses liaisons avec la paroi nécessite la prise en compte des caractéristiques du terrain.

Afin de permettre une formulation mathématique simple du problème, on considère le terrain d'appui du radier comme parfaitement élastique.

Le radier permet, d'avoir une surface maximale de répartition des charges pour un espace donné ; ce qui entraîne une pression de contact minimale et dans la plus part des cas un coefficient de sécurité maximal à la rupture.

Ce type de fondation a un en divers rôles :

- Augmenter la surface de contact sur le sol.
- Éliminer les effets de petites poches de sol non ou compressible.
- Résister aux sous pressions dues à une recouvrance de la nappe.

Un radier est généralement défini comme étant un plancher renversé avec les mêmes règles de calculs que pour les autres planchers où la représente les points d'appuis du radier.

Pour notre étude on a considéré deux cas de charges :

CAS I : Réservoir vide :

Le radier est soumis à la réaction du sol diminué

... de son poids propre.

- cas II: Réservoir plein:

Le radier est soumis à la réaction du sol, diminué de son poids propre, et des surcharges de l'eau.

Pour le calcul du radier, la logique nous conduit au cas le plus défavorable, qui est le cas I, car dans le cas II, le radier est presque soumis à une compression simple.

I. Détermination de l'épaisseur du radier:

L'épaisseur du radier doit être choisie de manière à :

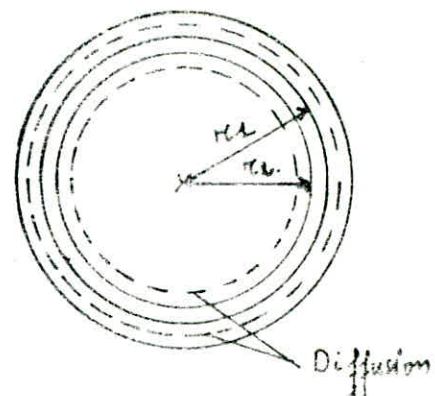
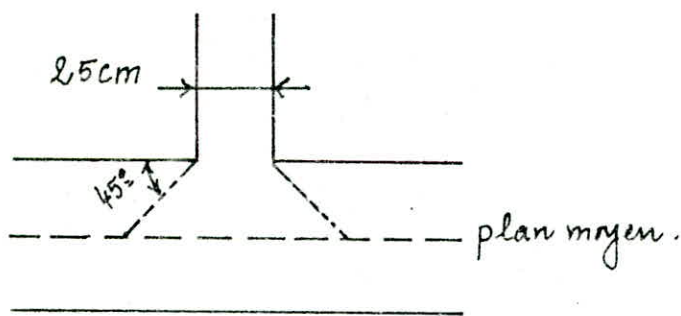
- 1°. Éviter le poinçonnement
- 2°. Assurer la condition de non rebordement à l'effort tranchant.
- 3°. Assurer la rigidité du radier.

1°. Vérification au poinçonnement:

on doit vérifier que : $\frac{1,5Q}{Pc \cdot ht} \leq 1,25$ où :

$$Q = G + P = 1702,886 \text{ t}$$

P_c : périmètre de contour à considérer dans le plan moyen.



$$P_c = 2\pi \left[(r_1 + \frac{b}{2}) + (r_2 - \frac{b}{2}) \right] = 2\pi (r_1 + r_2)$$

$$P_c = 2\pi (15,75 + 15,5) = 196,35 \text{ m.}$$

$$ht \geq \frac{1,5 \text{ N}}{1,2 \cdot \bar{\sigma}_b \cdot P_c} = \frac{1,5 \cdot 1398,471 \cdot 10^3}{1,2 \cdot 6,25 \cdot 196,35 \cdot 10^2} = 13,83 \text{ cm}$$

2° Condition de non vérification de l'effort tranchant:

$$h \geq \frac{2(b-a)-e}{4}$$

Afin de permettre l'ancrage des aciers verticaux dans le radier on laissera un débord pour le radier de 40 cm.

$$b = \text{rayon du radier} = 15,15 \text{ m.}$$

$$a = \text{rayon moyen du cylindre} = 15,625 \text{ m.}$$

$$e = \text{épaisseur de la paroi} = 0,25 \text{ m.}$$

$$\Rightarrow h \geq \frac{2(16,15 - 15,625) - 0,25}{4} = 0,2 \text{ m}$$

3° Rigidité du radier:

l'épaisseur du radier doit satisfaire

à la résistance:

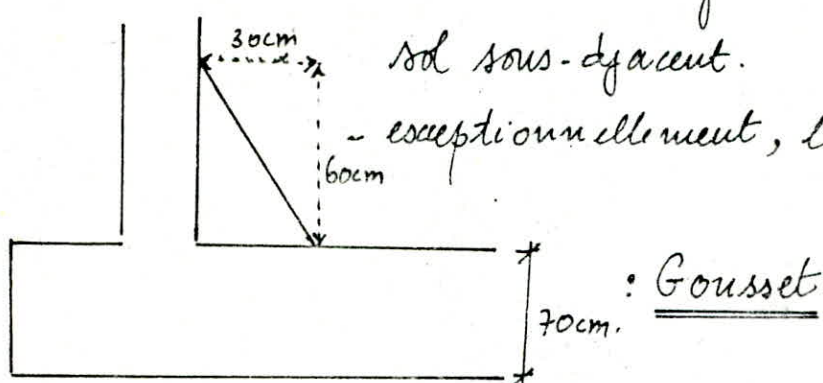
$$- M_{ext} \leq M_{rb} = K \cdot b \cdot h^2$$

- L'enca斯特rement de la paroi dans le radier.

6° Étaucliète:

- Une certaine rigidité du radier vis-à-vis du sol sous-jacent.

- exceptionnellement, le rôle du revêtement.



$$1) - M_{ext} = M_{ab} = K b h^2 \Rightarrow$$

pour : $M_{ext} = 64,4 \text{ t.m}$ et $\bar{\sigma}_a = 1574 \text{ kgf/cm}^2$, $\bar{\sigma}'_b = 150 \text{ kgf/cm}^2$

on a : $K = 35,5$ d'où :

$$h = \frac{64,4 \cdot 10^5}{100 \cdot 35,5} = 43 \text{ cm}$$

2) Assurez l'encaissement de la poutre dans le radier, l'épaisseur du radier doit être au moins égale à deux fois celle de la poutre.

$$ht \approx 50 \text{ cm.}$$

II. Calcul du radier :

A. Diagramme de réaction du sol.

L'étude du radier est difficile, cette difficulté réside dans la détermination du diagramme (approche exacte) des réactions du terrain, par cela dépend des coefficients d'élasticité relative de la structure, du radier et du sol.

La théorie des plaques sur sol élastique est en général tellement laborieuse qu'on a presque toujours calculé les réactions en choisissant à priori un diagramme de réaction du sol (le plus souvent linéaire et uniforme) et en veillant si ce que les éléments de réduction associés à ce diagramme redonnent bien, l'aplomb de chaque point porteur, une réaction d'intensité égale et de sens opposé à la charge provenant de la superstructure.

on doit s'assurer que le diagramme ne conduit pas localement à des contraintes trop fortes sur le sol ou à des soulevements.

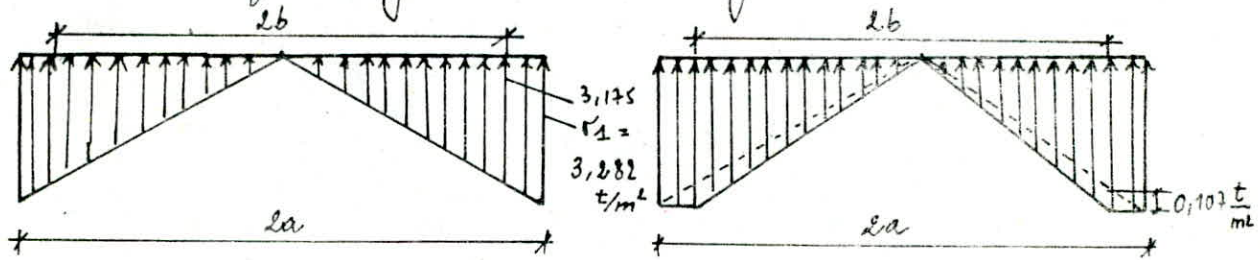
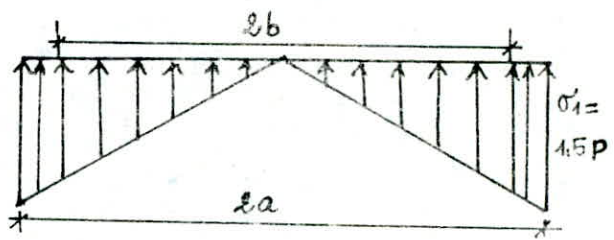
Enfin, on considérera un diagramme de réaction du sol sur le radier de forme triangulaire: Maximum au bord et nul au centre du radier.

- Schéma statique :

$$\text{avec: } P = \frac{\Phi}{\pi a^2} = \frac{1298,470}{\pi \cdot 16,15^2} = 1,585 \text{ t/m}^2$$

$$\text{donc: } \sigma_1 = 1,5P = 2,377 \text{ t/m}^2$$

Pour pouvoir utiliser les tables de M^e Richard Barres, on doit modifier légèrement le diagramme de réaction.



- on a deux types de liaison paroi - radier:

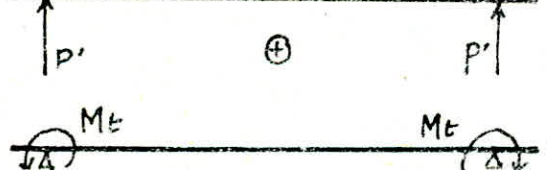
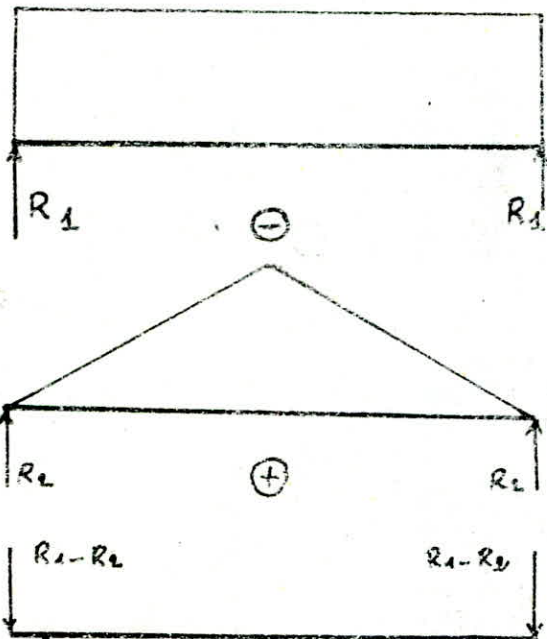
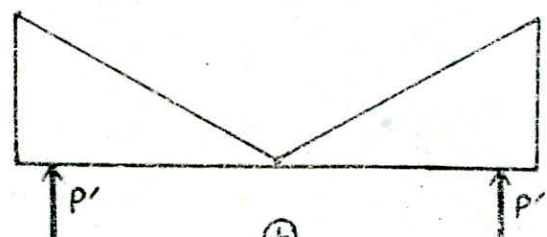
a - radier simplement appuyé.

b - radier parfaitement encastré.

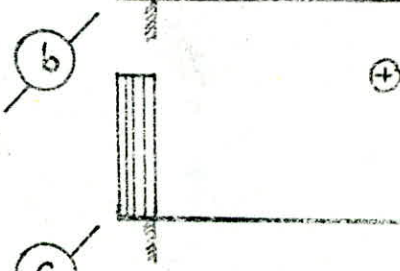
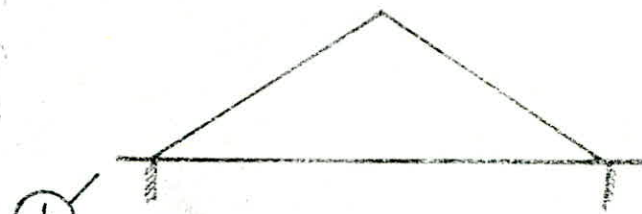
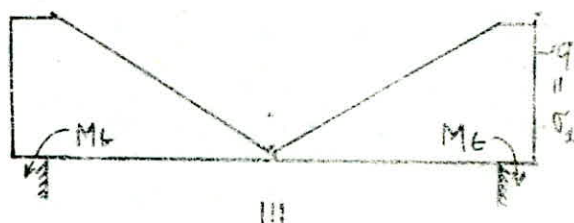
nous étudierons ces deux cas limites séparément,
ensuite on prendra les moments les plus défavorables
pour le calcul du frottement.

.../...

A - radier simplement appuyé



B - radier parfaitement encastré



$$M_r = M_r^a - M_r^b + M_r^c + M_r^d$$

$$M_\varphi = M_\varphi^a - M_\varphi^b + M_\varphi^c + M_\varphi^d$$

- M_r = Moments radiaux par unité de cercle.

- M_φ = Moments tangentiels par unité de longueur du diamètre.

B. Éléments de réduction :

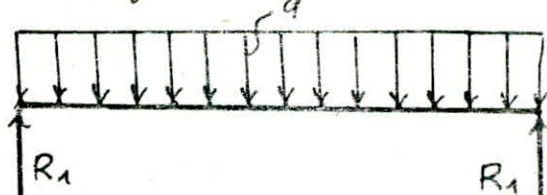
Nous appliquerons les résultats de M^e BARRES.

1). Radier simplement appuyé:

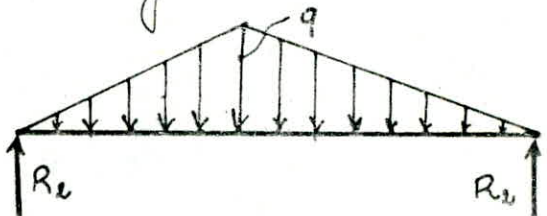
a) plaque circulaire chargée uniformément.

$$M_r^a = \frac{qa^2}{16} (3 + \mu)(1 - \beta^2)$$

$$M_\varphi^a = \frac{qa^2}{16} [(3 + \mu) - (1 + 3\mu)\beta^2]$$



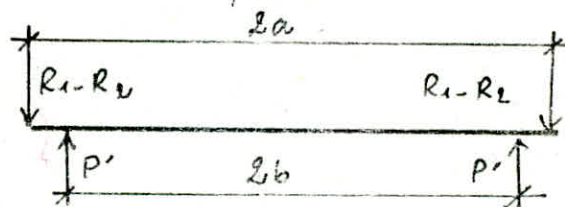
b) plaque circulaire chargée triangulairement.



$$M_r^b = \frac{qa^2}{720} [71 + 29\mu - 45(3 + \mu)\beta^2 + 16(4 + \mu)\beta^3]$$

$$M_\varphi^b = \frac{qa^2}{720} [71 + 29\mu - 45(1 + 3\mu)\beta^2 + 16(1 + 4\mu)\beta^3]$$

c) plaque circulaire chargée concentriquement:



$$r > b : M_r^c = 0$$

$$M_\varphi^c = \frac{Pb}{2} (1 - \mu) \left(1 - \frac{b^2}{a^2}\right).$$

$$r < b : M_r^c = M_\varphi^c = \frac{\sigma}{4} \left[(1 - \gamma) \left(\frac{a^2 - b^2}{2} \right) + b^2 (1 + \gamma) \ln \frac{a}{b} \right]$$

$$\text{avec: } \sigma = \frac{W}{\pi a^2}$$

t) dalle circulaire soumise à un moment concentré:



$$r \leq b : M_r^t = M_\varphi^t = -\frac{M}{2} \left[(1 + \mu) + \frac{1}{\beta^2} (1 - \mu) \right]$$

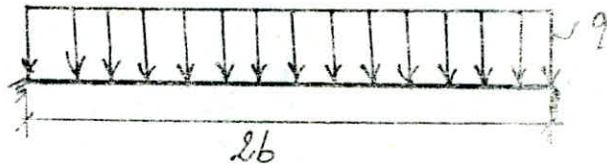
$$r > b : M_r^t = M_\varphi^t = -\frac{M^t}{2\beta^2} (1 - \mu) \left(1 - \frac{\beta^2}{\beta^2}\right)$$

- Récapitulation des résultats sur le tableau ... / ...

r	M _i	M ^a [t.m]	M ^b [t.m]	M ^c [t.m]	M _f [t.m]	M [t.m]
0	M _r	122,058	64,882	6,7360	- 4,108	59,804
	M _φ	122,058	64,882	6,7360	- 4,108	59,804
2	M _r	120,186	63,119	6,7360	- 4,108	59,695
	M _φ	121,196	64,062	6,7360	- 4,108	59,758
4	M _r	114,570	54,263	6,7360	- 4,108	58,935
	M _φ	118,611	61,770	6,7360	- 4,108	59,469
6	M _r	105,211	50,967	6,7360	- 4,108	56,872
	M _φ	114,303	58,258	6,7360	- 4,108	58,872
7	M _r	99,127	46,607	6,7360	- 4,108	55,148
	M _φ	111,502	56,122	6,7360	- 4,108	58,008
8	M _r	92,107	41,882	6,7360	- 4,108	52,853
	M _φ	108,271	53,775	6,7360	- 4,108	57,124
9	M _r	84,152	36,871	6,7360	- 4,108	49,909
	M _φ	104,609	51,248	6,7360	- 4,108	55,989
10	M _r	75,260	31,658	6,7360	- 4,108	46,1230
	M _φ	100,516	48,574	6,7360	- 4,108	54,570
11	M _r	65,433	26,324	6,7360	- 4,108	41,737
	M _φ	95,992	45,782	6,7360	- 4,108	52,838
12	M _r	54,670	20,940	6,7360	- 4,108	36,1349
	M _φ	91,038	42,905	6,7360	- 4,108	50,761
13	M _r	42,970	15,616	6,7360	- 4,108	29,982
	M _φ	85,652	39,974	6,7360	- 4,108	48,306
14	M _r	30,1335	10,408	6,7360	- 4,108	22,558
	M _φ	79,836	37,020	6,7360	- 4,108	45,444
15,681	M _r	7,807	2,410	6,736	- 4,108	8,025
	M _φ	69,466	32,1253	6,736	- 4,108	39,841
15,681	M _r	4,863	1,480	0,000	- 0,046	3,337
	M _φ	68,111	31,675	5,614	- 0,046	48,1007
16,15	M _r	0,000	0,000	0,000	- 0,117	0,117
	M _φ	65,872	65,872	5,614	- 0,117	40,661

2% Plaquette parfaitement encastré:

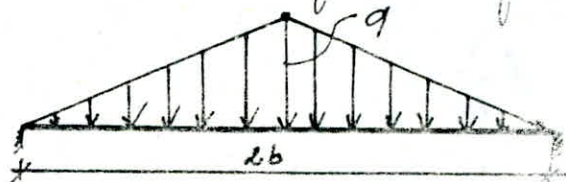
a% plaquette circulaire uniformément chargé de b:



$$- M_r^a = \frac{9b^2}{16} \left[(1+\mu) - (3+\mu) \frac{q^2}{g^2} \right]$$

$$- M_\varphi^a = \frac{9 \cdot b^2}{16} \left[(1+\mu) - (1+3\mu) \frac{q^2}{g^2} \right]$$

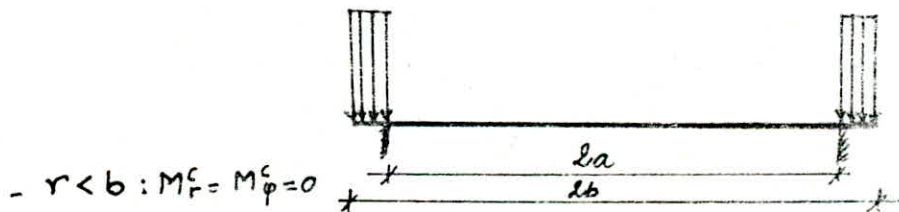
b% plaquette circulaire chargé triangulairement:



$$- M_r^b = \frac{9b^2}{720} \left[29(1+\mu) - 45(3+\mu) \frac{q^2}{g^2} + 16(4+\mu) \frac{q^3}{g^3} \right]$$

$$- M_\varphi^b = \frac{9b^2}{720} \left[29(1+\mu) - 45(1+3\mu) \frac{q^2}{g^2} + 16(1+4\mu) \frac{q^3}{g^3} \right]$$

c% plaquette circulaire chargé en couronne sur son bord:



$$- r < b : M_r^c = M_\varphi^c = 0$$

$$- r > b : M_r^c = \frac{9a^2}{16} \left[(1+\mu)(\beta^2 - K_{10}) + 4\mu - (3+\mu) \frac{q^2}{g^2} + (1-\mu) K_{10} \frac{\beta^2}{g^2} + 4(1+\mu) \ln \frac{\beta}{\beta} \right]$$

$$M_\varphi^c = \frac{9a^2}{16} \left[(1+\mu)(\beta^2 - K_{10}) + 4\mu - (1+3\mu) \frac{q^2}{g^2} + (1-\mu) K_{10} \frac{\beta^2}{g^2} + 4(1+\mu) \ln \frac{\beta}{\beta} \right]$$

$$\text{avec: } K_{10} = \frac{1-\mu+(1+\mu)(\beta^2 - 4 \ln \beta)}{1+\mu+(1-\mu)\beta^2}$$

d% plaquette soumise à un moment concentré:

$$- r < b : M_r^e = M_\varphi^e = 0$$

$$- r > b : M_r^e = -M_e K_{12} \left[1 + \mu + (1-\mu) \frac{\beta^2}{g^2} \right] \quad \text{avec:}$$

$$M_\varphi^e = -M_e K_{12} \left[1 + \mu - (1-\mu) \frac{\beta^2}{g^2} \right] ; K_{12} = \frac{1}{1 + \mu + (1-\mu) \beta^2}$$

r	M _i	M ^a [t.m]	M ^b [t.m]	M ^c [t.m]	M ^d [t.m]	M[t.m]
1	M _r	41,711	26,880	—	—	14,831
	M _q	41,711	26,880	—	—	14,831
2	M _r	39,1839	25,121	—	—	14,718
	M _q	40,1849	26,062	—	—	14,787
4	M _r	34,1223	20,291	—	—	13,1932
	M _q	38,1264	23,1780	—	—	14,1484
6	M _r	24,1864	13,064	—	—	11,800
	M _q	33,1956	20,1294	—	—	13,662
7	M _r	18,1780	8,1768	—	—	10,018
	M _q	31,155	18,180	—	—	12,1975
8	M _r	11,1760	4,113	—	—	7,1647
	M _q	27,1924	15,863	—	—	12,1061
9	M _r	3,805	-0,1798	—	—	4,603
	M _q	24,1262	13,375	—	—	10,887
10	M _r	-5,087	-5,887	—	—	0,1800
	M _q	20,1169	10,1748	—	—	9,1421
11	M _r	-14,914	-11,071	—	—	-3,843
	M _q	15,645	8,014	—	—	7,1631
12	M _r	-25,677	-16,265	—	—	-9,1412
	M _q	10,1691	5,207	—	—	5,1484
13	M _r	-37,377	-21,384	—	—	-15,993
	M _q	5,305	2,359	—	—	2,1946
14	M _r	-50,1012	-26,345	—	—	-23,667
	M _q	-5,412	-0,499	—	—	-4,913
15,686	M _r	-71,540	-33,852	-8,949	-4,133	-64,394
	M _q	-10,1881	-5,078	-1,839	-0,620	-3,964
15,886	M _r					
	M _q					
16,15	M _r					
	M _q					

M_r	5	0	2	4	6	7	8	9	10	11	12	13	14	15, et 15,825	16,15
M_r	+	59,804	59,695	59,535	59,872	55,148	52,853	49,909	46,930	42,332	36,349	29,982	22,558	15,825	0,000
M_ϕ	-	-	-	-	-	-	-	-	-	-	-	15,393	12,652	8,025	3,354
M_ϕ	+	59,804	59,669	59,483	58,623	58,008	52,122	47,289	45,520	42,853	39,412	32,308	25,444	12,933	0,620
	-	-	-	-	-	-	-	-	-	-	-	-	-	-	-

Cô Ferrailage:

Nous donnons un exemple pour $r=0$ (centre du radien).

Armatures supérieures dans deux directions.

$$M_r = M_\phi = 59,804 \text{ t.m} ; M_x = M_y = 59,804 \text{ t.m}$$

pour un quadrillage.

$$\sigma_b' = 150 \text{ Kg/cm}^2$$

$$\bar{\sigma}_a = 1574 \text{ Kg/cm}^2$$

$$\alpha = 0,50$$

$$\gamma = 0,8$$

$$\Rightarrow K = 35,4$$

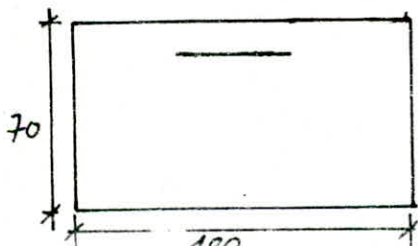
Moment statique du béton :

$$M_{rb} = K b h^2 = 35,4 \cdot 100 \cdot 60,5^2 = 123,573 \text{ t.m}$$

$$M_{rb} > M_{ext} \Rightarrow A' = 0$$

$$\text{donc: } A = \frac{M}{\gamma h \bar{\sigma}_a} = \frac{59,804 \cdot 10^5}{0,8 \cdot 60,5 \cdot 1574} = 78,50 \text{ cm}^2$$

on prend : deux filos 8 HA 25 : $2(2 \cdot 8 \cdot 4 \cdot 25) \Rightarrow A = 78,54 \text{ cm}^2$.



verification des contraintes:

- Moment statique:

$$A, A', S(z) = b \cdot \frac{z^2}{2} + nA'(z - d') - nA(h - z) = 0 \Rightarrow z = ..$$

$z = 29,82 \text{ cm}$

* avec: $A = 78,54 \text{ cm}^2$; $A' = 0$

- moment d'inertie

$$A, A', I = b \cdot \frac{z^3}{3} + nA'(z - d')^2 + nA(h - z)^2 \Rightarrow I = ..$$

$I = 1992784,39 \text{ cm}^4$

Contraintes:

beton: $\sigma'_b = \frac{M}{I} \cdot z \Rightarrow$

$$\sigma'_b = \frac{59,804 \cdot 10^5}{1992784,39} \cdot 29,82 = 89,5 \text{ kg/cm}^2$$

$\Rightarrow \sigma'_b < \bar{\sigma}'_b = 150 \text{ kg/cm}^2.$

Acier:

$$\sigma'_a = n \cdot \frac{M}{I} \cdot (h - z) \Rightarrow$$

$$\sigma'_a = 15 \cdot \frac{59,804 \cdot 10^5}{1992784,39} \cdot (60,5 - 29,82) = 1381,1 \frac{\text{kg}}{\text{cm}^2}$$

$\Rightarrow \sigma'_a < \bar{\sigma}'_a = 1574 \text{ kg/cm}^2.$

Conclusion:

Contraintes vérifiées.

Armature inférieure
enroulage radial.

n	M _r [Nm]	$\bar{\sigma}_a$ [kg/cm ²]	α_c	γ	M _{zb} [Nm]	A [cm ²]	Achisie	β [cm]	I [cm ⁴]	$\bar{\sigma}'_b$ [kg/cm ²]	$\bar{\sigma}'_a$ [kg/cm ²]
0,00	0	—	—	—	—	—	4HA18	—	—	—	—
8,0	0	—	—	—	—	—	4HA12	—	—	—	—
10,0	0	—	—	—	—	—	4HA12	—	—	—	—
11,0	-3,843	2066	0,52	0,83	136,76	3,446	4HA12	8,735	236853,950	14,2	1369,4 < $\bar{\sigma}_a$
12,0	-9,412	1443	0,54	0,82	140,31	9,065	6HA14 = 9,24	12,11	446911,560	25,5	1670,8 < $\bar{\sigma}_a$
13,0	-15,993	1943	0,54	0,82	140,31	15,4	10HA14 = 15,4	15,17	689948,120	35,17	1732,59 < $\bar{\sigma}_a$
14,0	-23,667	1574	0,59	0,80	150,29	28,916	6HA25 = 23,4	19,94	1159681,816	40,69	1379,39 < $\bar{\sigma}_a$
15,0	-64,394	1574	0,59	0,80	150,29	78,67	16HA25 = 88,44	29,07	2337042,619	80,095	1485 < $\bar{\sigma}_a$
16,0	-4,193	2215	0,15	0,83	131,5	3,51	5HA10 = 3,9	8,155	207112,221	16,151	1726,38 < $\bar{\sigma}_a$
16,15	-3,999	2215	0,15	0,83	131,5	3,35	5HA10 = 3,9	8,155	207112,221	15,75	1646,38 < $\bar{\sigma}_a$

σ : enroulage
 $d = 5 \text{ cm}$.

Armatures inférieures
enroulage en cercles

r	M _r [t...]	F _a [kg/cm ²]	α	γ	M _{r6} [t...]	A [cm ²]	Achaine _{en}	z [cm]	I [cm ⁴]	σ _{b'} [kg/cm ²]	σ _a [kg/cm ²]
E/7	—	—	—	—	—	—	—	—	—	—	—
E/8	—	—	—	—	—	—	—	—	—	—	—
E/10	—	—	—	—	—	—	—	—	—	—	—
E/11	—	—	—	—	—	—	—	—	—	—	—
E/12	—	—	—	—	—	—	—	—	—	—	—
E/13	—	—	—	—	—	—	—	—	—	—	—
E/13,5	—	—	—	—	—	—	4HA12	—	—	—	—
E/14	-41913	2066	0,52	0,83	136,76	4,41	4HA12	8,735	236853,95	18142	1750,64<σ _a
E/15,625	31964	2066	0,52	0,83	136,76	3,556	4HA12	8,735	236853,95	14162	1412,15<σ _a
E/15,625	0,689	2066	0,52	0,83	136,76	0,613	4HA12	8,735	236853,95	215	23414<σ _a

Amortisseuses supérieures
fer à l'ilage radial.

<i>n</i>	M _r [kg]	F _a [kg/kg]	α	γ	M _b [kg/m ³]	A [cm ²]	Achinge	δ [cm]	I [cm ⁴]	σ'_b [$\frac{kg}{cm^2}$]	F _a [kg/cm ²]
$r = 0$	59,804	1574	0,59	0,8	129,823	78,5	16 HA 25 78,144	29,82	1902784,39	89,5	1381,1 < $\bar{\sigma}_a$
$r = 8$	52,853	1574	0,59	0,8	129,573	69,38	16 HA 25 78,144	29,88	1902784,39	79,1	1220,5 < $\bar{\sigma}_a$
$r = 10$	46,230	1574	0,59	0,8	129,573	60,68	16 HA 25 78,144	29,82	1902784,39	69,2	1067,6 < $\bar{\sigma}_a$
$r = 11$	41,737	1574	0,59	0,8	129,573	54,79	16 HA 25 78,144	29,82	1902784,39	62,5	963,8 < $\bar{\sigma}_a$
$r = 12$	36,349	1574	0,59	0,8	129,573	47,71	10 HA 15	23,36	1438784,95	59,1	1407,5 < $\bar{\sigma}_a$
$r = 13$	29,982	1574	0,59	0,8	129,573	39,36	8 HA 25	21,40	1225615,26	52,4	1434,7 < $\bar{\sigma}_a$
$r = 14$	22,558	1574	0,59	0,8	145,0	27,99	6 HA 25	19,11	988118,61	43,6	1417,4 < $\bar{\sigma}_a$
$r = 15,625$	8,085	1574	0,59	0,8	145,0	7,995	6 HA 14	11,9	418085,67	22,84	1471,3 < $\bar{\sigma}_a$
$r = 15,845$	3,337	1943	0,53	0,82	133,5	3,32	3 HA 14	8,68	926279,96	1218	1802 < $\bar{\sigma}_a$
$r = 16,15$	3,337	1943	0,53	0,82	133,5	3,32	3 HA 14	8,68	926279,96	1218	1802 < $\bar{\sigma}_a$

Aromatines supérieures
Surillage en cercles.

r	Mr [t.m]	$\bar{\sigma}_a$ [kg/cm ²]	α	γ	M _{rb} [t.m]	A [cm ²]	A chosie <small>67,44</small>	β [cm]	I [cm ⁴]	σ'_b [kg/cm ²]	σ'_a [kg/cm ²]
r=0	59,804	1574	0,59	0,8	14015	25,39	$16\text{ HA}25$ $= 78,44$	28,45	2171371,092	78,47	$1487,34 < \bar{\sigma}_a$
r=8	57,184	1574	0,59	0,8	14015	72,00	$16\text{ HA}25$ $= 78,44$	28,45	2171371,092	74,85	$1363,14 < \bar{\sigma}_a$
r=10	54,570	1574	0,59	0,8	14015	68,79	$16\text{ HA}25$ $= 78,4$	28,45	2171371,092	71,5	$1302,14 < \bar{\sigma}_a$
r=11	52,838	1574	0,59	0,8	14015	66,60	$16\text{ HA}25$ $= 78,4$	28,45	2171371,092	69,23	$1261,12 < \bar{\sigma}_a$
r=13	50,761	1447	0,6	0,8	152,1	60,16	$9\text{ HA}32$ $= 72,36$	27,33	2066078,07	67,00	$1316 < \bar{\sigma}_a$
r=13	48,308	1447	0,6	0,8	152,1	66,24	$9\text{ HA}32$ $= 72,36$	27,33	2066078,07	63,80	$1252,1 < \bar{\sigma}_a$
r=14	46,444	1447	0,6	0,8	152,1	62,31	$8\text{ HA}32$ $= 64,32$	26,53	1905672,72	63,30	$1304,53 < \bar{\sigma}_a$
r=15,61	39,841	1447	0,6	0,8	152,1	54,63	$7\text{ HA}32$ $= 56,28$	26,53	1905672,72	55,47	$1144 < \bar{\sigma}_a$
r=15,88	42,007	1447	0,6	0,8	152,1	57,6	$8\text{ HA}32$ $= 64,32$	26,53	1905672,72	58,150	$1206 < \bar{\sigma}_a$
r=16,16	42,007	1447	0,6	0,8	152,1	57,6	$8\text{ HA}32$ $= 64,32$	26,53	1905672,72	58,150	$1206 < \bar{\sigma}_a$

- Contrainte admissible du sol : $\bar{\sigma}_s$.

- En raison de la présence de débris de schistes sous les sols rencontrés, il n'a pas été possible pour l'ELNTP (laboratoire national des travaux publics), de réaliser les essais mécaniques sur les échantillons prélevés dans les forages, nous nous baserons donc sur les essais de pénétrations dynamiques.

La contrainte admissible du sol peut être estimée à partir de la résistance dynamique à la pointe par la formule préconisée par SANGLEURAT:

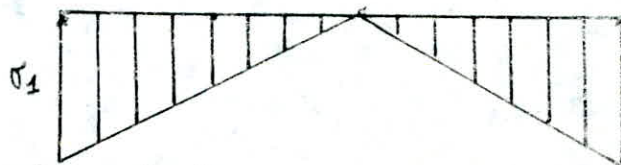
$$\bar{\sigma}_s = \frac{R_{pd}}{20}$$

- Notons que cette formule assure un coefficient de sécurité de l'ordre de quatre (4).
- Les essais de pénétrations dynamiques ont donné des valeurs de résistance variables avec la profondeur tout en restant supérieur à la valeur de $R_{pd} = 300$ à la profondeur de trois mètres (3m) qui représente le niveau du radier. L'estimation de la contrainte admissible du radier, a donné :

$$\bar{\sigma}_s = 1,5 \text{ bars.}$$

- Vérification de la stabilité du radier :

a1. Réservoir vide :



- Si la réaction du sol était uniforme :

$$P = \frac{W}{\pi a^2}$$

avec :

$$W : \text{poids (parois, coupoles, Gourset)} = 1298,431 \text{ t}$$

$$a : \text{rayon du radier} = 16,15 \text{ m.}$$

P : réaction uniforme du sol :

$$P = \frac{1298,431}{\pi \cdot 16,15^2} = 1,585 \text{ t/m}^2.$$

Comme la réaction du sol est triangulaire on aura :

$$\bar{S}_1 = 1,5 P = 1,5 \cdot 1,585 = 2,377 \text{ t/m}^2.$$

et enfin, en tenant compte du poids du radier et de 120 m³ d'eau de fond; on a :

$$h \text{ radier} = 70 \text{ cm.}$$

$$h \text{ gros béton} = 10 \text{ cm.}$$

$$P_r = 2,5 \pi \cdot 16,15^2 \cdot 0,7 + 2,2 \pi \cdot 16,15^2 \cdot 0,1 = 1614,214 \text{ t}$$

$$P_{\text{fond}} = 1,2 \cdot 120 = 144 \text{ t}$$

$$W_t = P_r + P_{\text{fond}} = 1614,214 + 144 = 1758,214 \text{ t.}$$

donc :

$$\begin{aligned} \bar{S}_s &= 1,5 P + \frac{W_t}{\pi a^2} = 1,756 + \frac{1758,214}{\pi \cdot 16,15^2} \\ &= 3,908 \text{ t/m}^2 \end{aligned}$$

$$\Rightarrow \bar{S}_s = 0,39 \text{ kg/cm}^2 < \bar{S}_s = 1,5 \text{ kg/cm}^2.$$

b) Réservoir plein :

1°) Sollicitation du 1^{er} genre:

$$G + 1,2P = 1314,57 t$$

$$\text{Poids du radier} = 1614,214 t \quad \Rightarrow N = G + 1,2P + P_r + P_e = 8928,784 t$$

$$\text{Poids de l'eau} = 6000 t$$

$$\sigma_s = \frac{N}{\pi a^2} = \frac{8928,784}{\pi \cdot 16,15^2} = 1,089 \text{ kg/cm}^2 < 1,15 \frac{\text{kg}}{\text{cm}^2}$$

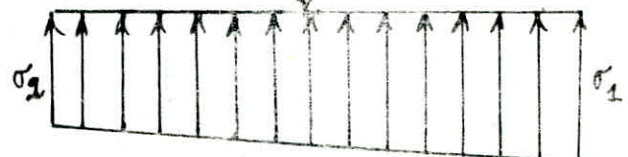
2) Sollicitation du 2^e genou:

Le radier est sollicité par les effets du moment de renversement M et de l'effort normal N agissant à la base.

on doit éviter un décolllement excessif des extrémités du radier susceptible d'altérer sa stabilité.

on doit donc vérifier que: $\sigma(D/4) = \frac{3\sigma_1 + \sigma_2}{4} < \bar{\sigma}_s$
et $\sigma_1 < 1,33 \bar{\sigma}_s$

$$\begin{aligned} N_2 &= G + P + P_r + P_e \\ &= w + P_r + P_e \end{aligned}$$



$$N_2 = 1298,471 + 1614,214 + 6000 = 8912,685 t.$$

$$M_r = 10365,416 t.m.$$

$$I = \frac{\pi a^4}{4} = \pi \cdot \frac{16,15^4}{4} = 53429,362 \text{ cm}^4$$

$$S = \pi a^2 = 819,398 \text{ mm}^2$$

$$V = \frac{\pi a}{2} = \frac{\pi 16,15}{2} = 16,15 \text{ m}$$

$$\sigma_{1,2} = \frac{N_2}{S} \pm \frac{M \cdot V}{I} = \frac{8912,685}{819,398 \cdot 10^4} \pm \frac{10365,416 \cdot 10^5 \cdot 16,15}{53429,362 \cdot 10^8}$$

$$\Rightarrow \sigma_{1,2} = (1,0877 \pm 0,1) \text{ kg/cm}^2 \Rightarrow \begin{cases} \sigma_1 = 1,4011 \text{ kg/cm}^2 \\ \sigma_2 = 0,7743 \text{ kg/cm}^2 \end{cases}$$

$$\sigma(D/4) = \frac{3\sigma_1 + \sigma_2}{4} = \frac{3 \cdot 1,4011 + 0,7743}{4} = 1,244 \text{ kg/cm}^2 < \bar{\sigma}_s = 1,15 \frac{\text{kg}}{\text{cm}^2}$$

et $\bar{\sigma}_1 = 1,4011 \text{ kg/cm}^2 < \bar{\sigma}_s = 1,33 \bar{\sigma}_s = 1,33 \cdot 1,15 = 1,995 \text{ kg/cm}^2$.

Tassement:

D'après les coupes lithologiques des sondages carottés que retient le L.N.T.P., on constate une homogénéité de la couche d'assise et des couches sous-jacentes, et comme notre ouvrage ne ramène pas des charges asymétriques, on peut dire que le tassement différenciel ne pourra pas se produire.

Pour ce qui est des tassements d'ensemble, le rapport du L.N.T.P. sur le site du Sabot ne contient pas d'essais (pedométrique, puissométrique, triaxial) relatifs à leur calcul.

Néanmoins on remarque que :

- Le radier repose sur un sol composé essentiellement de schistes.
- La profondeur de refus du pénétromètre est à quelque mètre de la surface (7m) du sol.

Conclusion:

Le problème des tassements n'est pas d'
- Craindre.

Les différentes couches du sol sont délimitées par
l'un des trois sondages-carottes effectués:

Remblai argilo-caillouteux	
	1,70
	Argile lâcheuse brune emboîtant des débris de schistes cristallins de plus en plus gros et nombreux à la base. 5,40
	7,00m refus. Schistes cristallins plus mais altérés.
	10,10
	schistes cristallins altérés broyés en petits débris.
	19,80
	Schistes cristallins altérés.

BIBLIOGRAPHIE

- Calcul des charges applicables au calcul des réservoirs.
- R.PA 81
- Règles CCBA 68
- Théorie des plaques et coques - FLÜGGE
- Traité de béton armé : Guerrin Tomes, 5, 6 et 7.
- TIMOSHENKO
- Calcul et vérification des ouvrages en béton armé : Pierre Charnon
- Calcul pratique des toits en béton armé : MARIUS-DIVER
- Traité de béton armé Tome II : BELLAZOGUI.
- Conception et calcul des structures soumises aux séismes.
- Conformément aux règles RPA 81 (M^e DAOUDI, M^e RILI, M^e SALHI).
- Réglement Américain : LIS Navy NAVFAC. P-355 ; TM 5.809.10.
- NUCLEAR Reactors and Earth quakes : TID-7024.
Reproduced by: National technical information service.
U.S. Department of commerce, Springfield, VA 22161.
- NM Newmark, W.J. Hall.
Earthquake spectra and Design. E.E.RI 1982.
- Réglement Japonais pour le calcul des bases de stockage de liquide.
- théorie et calcul d'Houzner: MM: DAVIDOVITCH et HADDADI.
- Fondations - Leonards
- Mécanique des sols - Sanguinet: Tomes 1 et 2.

